

ЛЕКЦИЯ 1 2 семестр

Электрическое поле, вектор напряженности, поток вектора.

Электрическое поле – пространство, где электрические заряды реализуют силовое взаимодействие. Любой электрический заряд изменяет свойство окружающего пространства – создаёт силовое поле, в котором другой заряд приобретает и потенциальную энергию оказывается под действием этой силы. Для точечного пробного заряда величина модуля ЭТОЙ СИЛЫ (известно из школьного курса): $f = q_{\text{пр}} \left(\frac{q}{4\pi\epsilon_0 r^2} \right)$, где $q_{\text{пр}}$ – величина пробного заряда; q – величина заряда, создающего поле; ϵ_0 – электрическая постоянная (не имеет физического смысла; используется в международной системе СИ для согласования основных единиц измерения, $\epsilon_0 = 8.85 \cdot 10^{-12}$ ф/м); \mathbf{r} – радиус вектор из местоположения точечного заряда, создающего поле, в точку расположения пробного заряда. Основной характеристикой электрического поля называют векторную величину, равную силе действующей в данной точке пространства со стороны поля на единичный пробный заряд:

$$\vec{E} = \vec{f}/q_{\text{пр}} = \vec{f} = \left(\frac{q}{4\pi\epsilon_0 r^3} \right) \vec{r} \quad (1.1).$$

В СИ единица напряженности электрического поля вольт/метр. В точке поля с напряженностью \vec{E} на всякий точечный заряд q , будет действовать сила $\vec{f} = q\vec{E}$, если заряд q положителен, то направление действия силы совпадает с вектором напряженности поля, если q отрицателен, то \vec{f} и \vec{E} противоположны.

Принцип суперпозиции полей: *напряженность поля системы зарядов равна векторной сумме напряженностей полей, создаваемых каждым из зарядов в отдельности:* $\vec{E} = \sum_1^N \vec{E}_i$ (1.2).

Электрическим диполем (см. рис. 1) называют два одинаковых по модулю, но разного знака точечных зарядов $+q$ и $-q$ расположенных на фиксированном расстоянии друг от друга l . Главная характеристика диполя именуется *электрическим моментом или моментом диполя:* $\vec{p} = ql$ (1.3).

При условии, что вектор \vec{l} проведен от отрицательного к положительному заряду диполя.

На оси диполя $\vec{E} = \left(\frac{2p}{4\pi\epsilon_0 r^3} \right)$, где r – расстояние до центра диполя (1.4).

Если $r \gg l$, напряженность электрического поля на оси диполя ничтожно мала.

Напряженность поля диполя в любой точке пространства можно вычислить:

$$\vec{E} = \left(\frac{p}{4\pi\epsilon_0 r^3} \right) \sqrt{1 + 3\cos^2\alpha} \quad (1.5),$$

Где r – расстояние до центра диполя, α – угол между осью диполя и r . (см. рис. 1)

Очевидно, что электрические заряды создающие поле расположены в пространстве: 1) в виде дискретных точечных зарядов $q_1 + \dots + q_n = Q$; 2) распределены одномерно, например, вдоль линии длиной l (нити) с линейной плотностью $\tau = Q/l$; 3) расположены на произвольной поверхности площадью S с поверхностной плотностью $\sigma = Q/S$; 4) в объёме V с объёмной плотностью $\rho = Q/V$.

Поток вектора напряженности.

На рисунке 1 изображены силовые линии поля; вектор напряженности направлен по касательной к силовым линиям в направлении от заряда положительного к отрицательному заряду (сколько линий выходит от положительного заряда, столько же приходит к отрицательному). Это свойство силовых линий электростатических (заряды не перемещаются, не прибывают и не убывают) полей.

Поток вектора напряженности электрического поля, имеющий физический смысл густоты расположения силовых линий в пространстве, определен следующей формулой: $\Phi_E = \int_0^S E_n dS$ (1.6),

где E_n – проекция вектора E на нормаль к площади dS ; для замкнутых поверхностей (содержащих внутри объем) под нормалью понимают нормаль, обращенную наружу (внешняя нормаль). (см. рис. 1)

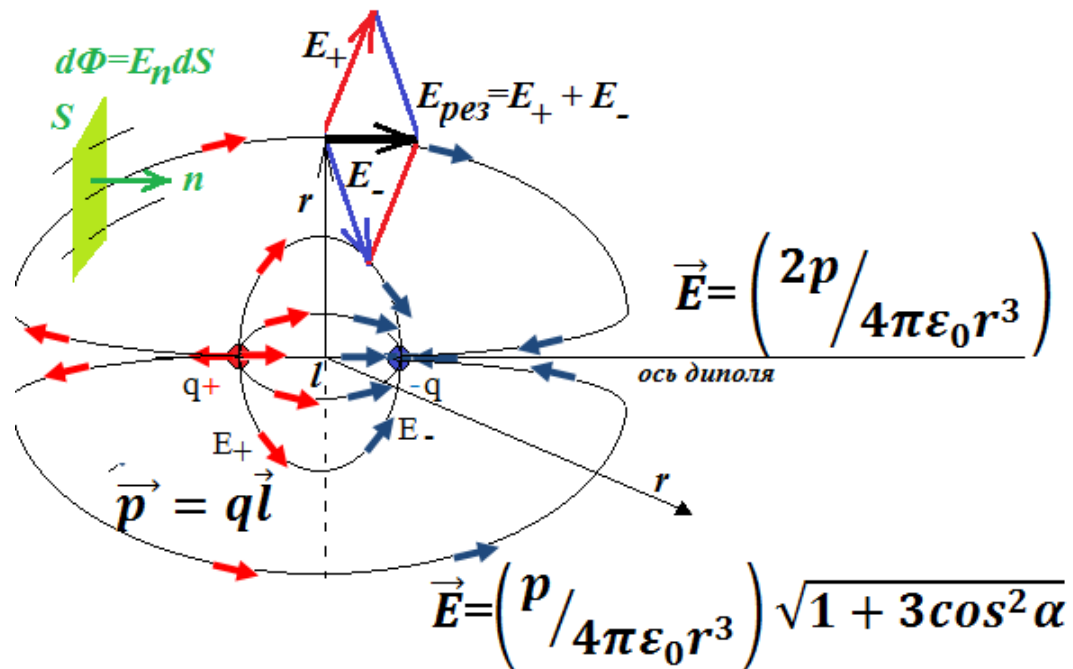


Рис. 1. – Иллюстрация силовых линий, вектора напряженности (E) электрического поля и потока вектора (Φ), создаваемых диполем с электрическим моментом $\vec{p} = q\vec{l}$

Теорема Гаусса.

Поток вектора напряженности электростатического поля через замкнутую (замыкает объём пространства) поверхность пропорционален алгебраической сумме зарядов, заключенных (замкнутых) этой поверхностью. В системе СИ коэффициент пропорциональности $1/\epsilon_0$. Знак потока совпадает с результирующим знаком заряда. Аналитически возможны алгебраическая, интегральная и дифференциальная формы записи теоремы Гаусса:

$$\text{Алгебраическая: } \Phi_E = \frac{\sum_{i=1}^n q_i}{\epsilon_0} \quad (1.7),$$

$$\text{Интегральная: } \Phi_E = \oint_0^S E_n dS = \frac{1}{\epsilon_0} \int_0^V \rho dV \quad (1.8),$$

$$\text{Дифференциальная: } \text{div} E = \frac{\rho}{\epsilon_0} \quad (1.9),$$

Дивергенция вектора E ($\text{div} E = \frac{dE_x}{dx} + \frac{dE_y}{dy} + \frac{dE_z}{dz}$) имеет физический смысл потока Φ_E через замкнутую поверхность, которая ограничивает исчезающе малый объём ($V \rightarrow 0$), в предельном случае – точку. Очевидно, что алгебраическая запись (1.7) удобнее для задач определения напряженности электрического поля, создаваемого дискретными зарядами; уравнение (1.8) универсально для любых ситуаций; (1.9) удобно при анализе местоположения «источков» и «стоков» электростатических полей.

Физический смысл теоремы Гаусса: из неразрывности силовых линий следует, что *положительные электрические заряды служат «исток», а отрицательные – «стоком» потока вектора напряженности электрического поля.* Как следствие: *поток вектора напряженности электрического поля через замкнутую поверхность, которая ограничивает объем пространства без электрического заряда, всегда равен нулю.* Т.е. какой поток проникает в эту поверхность – точно такой же и покидает её.

Теорема о циркуляции вектора напряженности электростатического поля.

Работа сил электростатического поля. Изучая законы механики, мы определили работу, как $A = \int_a^b f dx$, следовательно, работа по перемещению заряда в электростатическом поле из т. a в т. b $A = \int_a^b q E_l dl$, где E_l проекция вектора E на перемещение (скалярное произведение E и l). Если заряд перемещать по замкнутой траектории: $A = \oint q E_l dl$. В поле консервативных сил работа по замкнутой траектории (перемещение равно нулю) равна нулю. Поэтому,

$$\oint E_l dl = 0 \quad (1.10).$$

Выражение $\oint E_l dl$ называют циркуляцией вектора напряженности электростатического поля, а выражение (1.10) – теоремой о циркуляции вектора напряженности.

Физический смысл теоремы о циркуляции: *электростатическое поле – поле консервативных сил и работа этих сил не зависит от траектории движения заряда, а определяется только начальным и конечным местоположением.*

Потенциал электростатического поля. Если считать потенциальную энергию пробного заряда, бесконечно удаленного от поля, равной нулю, то работа по перемещению этого заряда из бесконечности в точку пространства, можно записать, как:

$$A = \int_{\infty}^r q_{\text{пр}} E_l dl = \left(\frac{q q_{\text{пр}}}{4\pi\epsilon_0 r} \right) \quad (1.11),$$

а работу по перемещению единичного положительного пробного заряда из бесконечности, или удельную потенциальную энергию, называемую потенциалом электростатического поля, запишем как:

$$\varphi = \left(\frac{q}{4\pi\epsilon_0 r} \right) \quad (1.12),$$

Потенциал (измеряется в вольтах) электростатического поля, созданного системой зарядов, - алгебраическая сумма потенциалов, создаваемых каждым электрическим зарядом.

$$\varphi = \frac{1}{4\pi\epsilon_0} \sum_{i=1}^N \frac{q_i}{r_i} \quad (1.13).$$

Связь напряженности и потенциала электрического поля

Работа сил поля по перемещению заряда может быть записана, как $A = \int_a^b q E_l dl$. А можно записать, как убыль потенциальной энергии $\Delta W = - \int_a^b q \frac{d\varphi}{dl} dl$. Видно, что $q E_l dl = - q \frac{d\varphi}{dl} dl$ и $E_l dl = - \frac{d\varphi}{dl} dl$. Следовательно, $E_l = - \frac{d\varphi}{dl}$, где l – может быть любой из координат пространства: x, y, z . $E_x = - \frac{d\varphi}{dx}$ $E_y = - \frac{d\varphi}{dy}$ $E_z = - \frac{d\varphi}{dz}$. В итоге:

$$\mathbf{E} = iE_x + jE_y + kE_z = -\left(i\frac{\partial\varphi}{\partial x} + j\frac{\partial\varphi}{\partial y} + k\frac{\partial\varphi}{\partial z}\right). \quad (1.14).$$

Это известная нам запись градиента и можно записать:

$$\mathbf{E} = -\mathbf{grad}\varphi \quad (1.15).$$

Напряженность электрического поля определена, как градиент потенциала с обратным знаком. **Физический смысл выражения (1.15):** быстрое пространственное изменение потенциальной энергии указывает на возрастание силовой характеристики поля (соответствующей проекции \mathbf{E}); направление нормали к эквипотенциальной поверхности совпадает с направлением вектора \mathbf{E} в той же точке поля; в эквипотенциальном пространстве нет силового воздействия ($\mathbf{E}=\mathbf{0}$).

Диполь во внешнем электрическом поле. На рисунке 2 представлена иллюстрация поведения диполей во внешнем электростатическом поле.

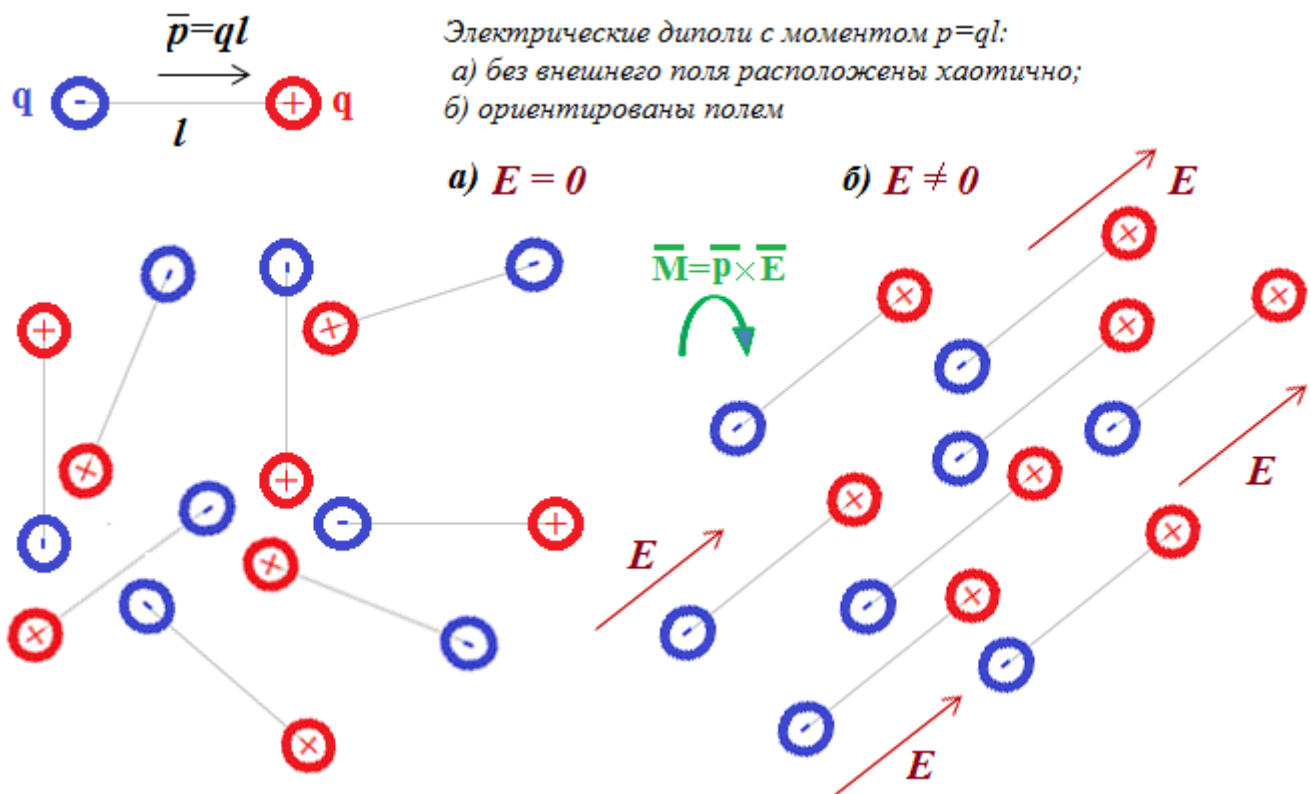


Рис. 2. – Ориентирующее влияние электрического поля (\mathbf{E}) на электрические диполи с электрическим моментом $\vec{p} = q\vec{l}$; вращение диполей под действием вращающего момента \mathbf{M} .

Если внешнее электрическое поле отсутствует, то диполи (например, молекулы) под действием теплового движения ориентированы в пространстве хаотично (см. рис. 1а). Во внешнем электрическом поле (\mathbf{E}) на электрический диполь действует вращающий момент сил, который стремится повернуть его так, чтобы дипольный момент развернулся вдоль направления поля. Величина вращающего момента определена, как векторное произведение дипольного момента и напряженности электростатического поля: $\mathbf{M} = \mathbf{p} \times \mathbf{E} = p \cdot E \cdot \sin\alpha$ (1.16), где α – угол между векторами дипольного момента и напряженности поля. Потенциальная энергия электрического диполя в электрическом поле определена, как скалярное произведение дипольного момента и напряженности электростатического поля: $W_p = -(\mathbf{p}, \mathbf{E}) = -p \cdot E \cdot \cos\alpha$ (1.16), где α – угол между векторами дипольного момента и напряженности поля. Таким образом,

вращающий момент сил максимален, если $\alpha=\pi/2$, а наибольшей потенциальной энергией обладает диполь при условии $\alpha=\pi$.

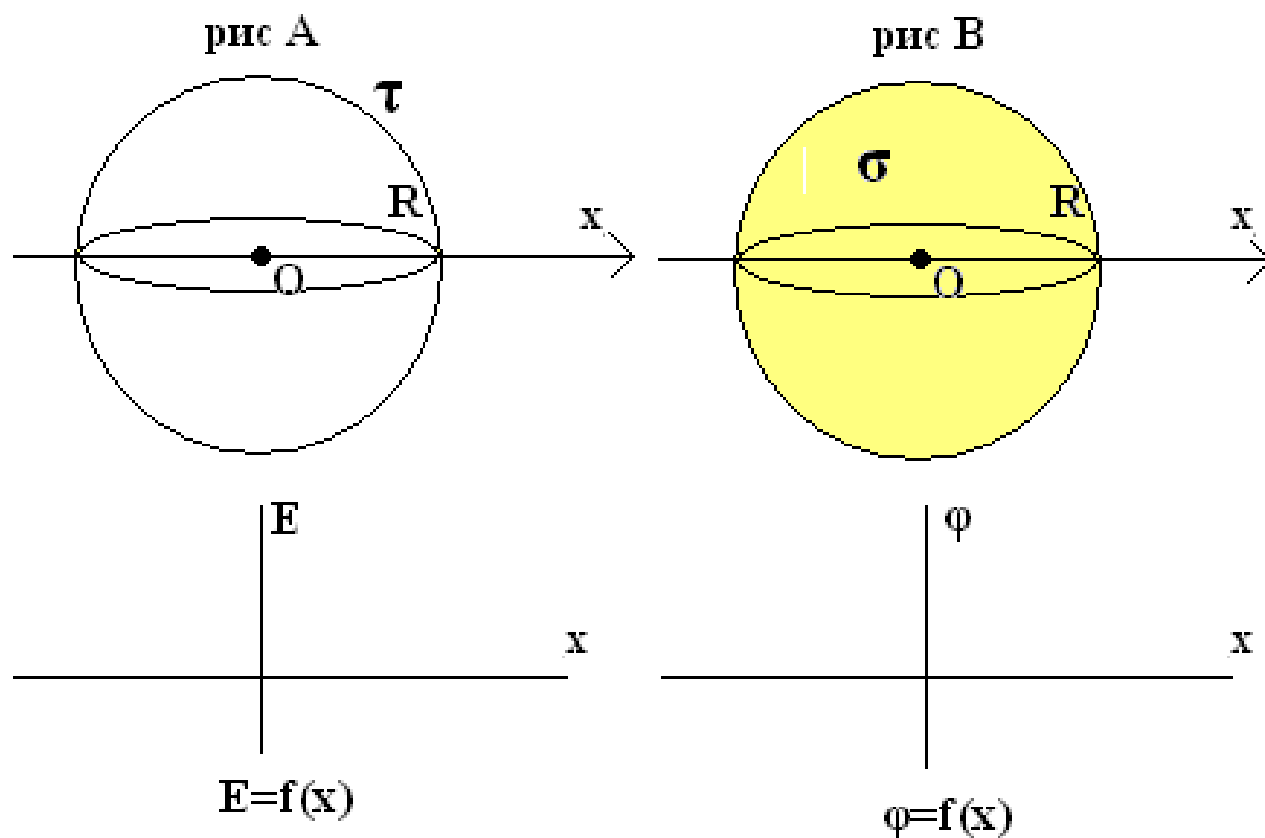
ДОМАШНЕЕ ЗАДАНИЕ

1) Заряд Q равномерно распределен с плотностью τ [Кл \times м $^{-2}$] на поверхности сферы радиуса R (см. рис А). Руководствуясь теоремой Гаусса для электростатического поля, представить графическую зависимость напряженности электростатического поля от расстояния до т. O , т.е. $E=f(x)$.

2) Заряд Q равномерно распределен с плотностью τ [Кл \times м $^{-2}$] на поверхности сферы радиуса R (см. рис А). Руководствуясь теоремой Гаусса для электростатического поля, представить графическую зависимость потенциала электростатического поля от расстояния до т. O , т.е. $\varphi=f(x)$.

3) В объеме шара радиуса R распределен заряд Q с плотностью σ [Кл \times м $^{-3}$] (см. рис В). Руководствуясь теоремой Гаусса для электростатического поля, представить графическую зависимость напряженности электростатического поля от расстояния до т. O , т.е. $E=f(x)$.

4) В объеме шара радиуса R распределен заряд Q с плотностью σ [Кл \times м $^{-3}$] (см. рис В). Руководствуясь теоремой Гаусса для электростатического поля, представить графическую зависимость потенциала электростатического поля от расстояния до т. O , т.е. $\varphi=f(x)$.



Закон Ампера

В дифференциальной форме: $df = I [dl \mathbf{B}]$, где df – сила, действующая в магнитном поле с индукцией \mathbf{B} на элементарную длину проводника $d\mathbf{l}$, по которому протекает ток I (рис.1); модуль $df = I B dl \sin\alpha$.

в интегральной форме: $f = \mu_0 2 I_1 \cdot I_2 / 4\pi b$, где f – сила между двумя проводниками с токами I_1 и I_2 на расстоянии b друг от друга, (рис.2); $\mu_0 = 4\pi \times 10^{-7}$ Гн/м.

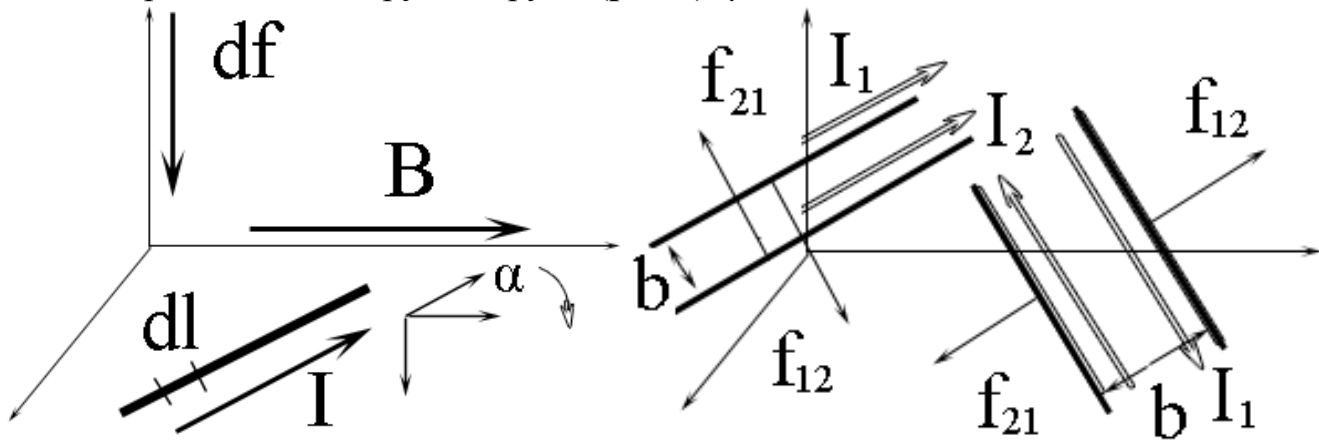
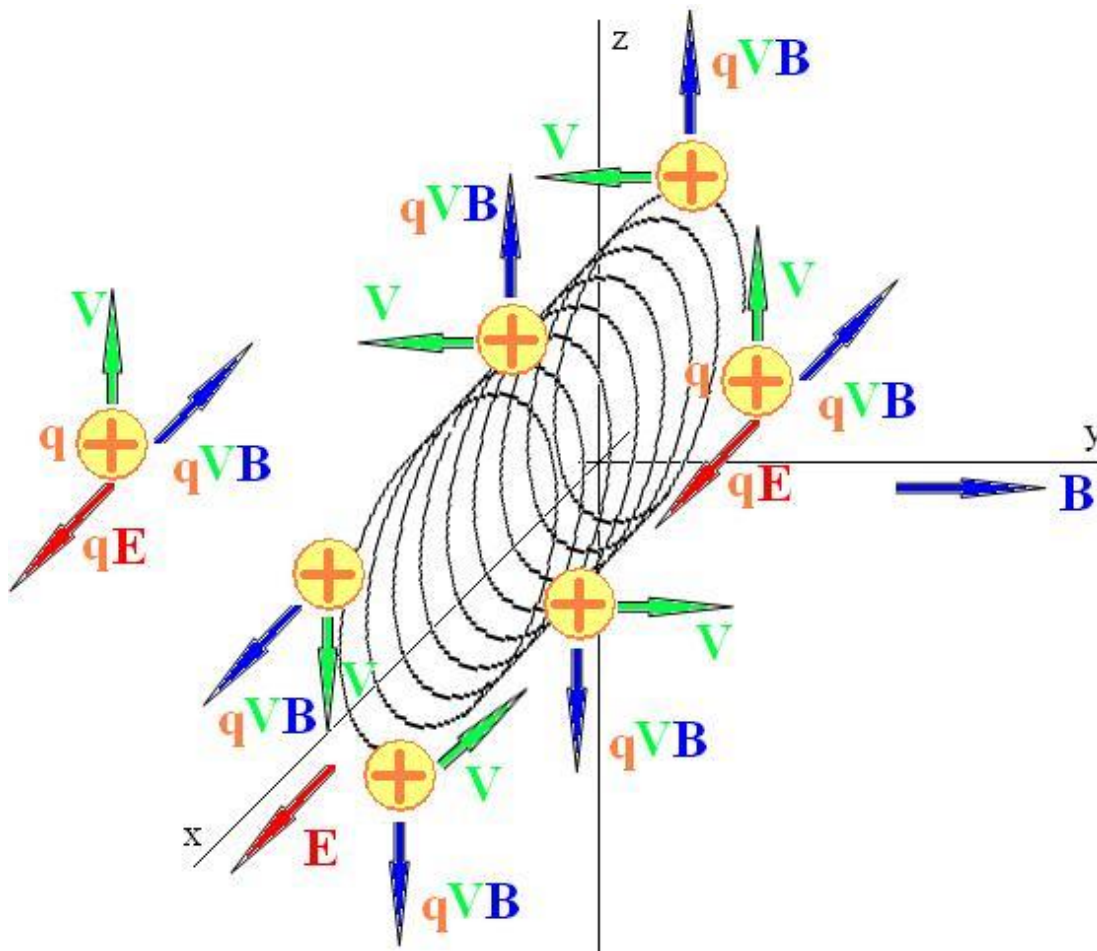


Рис.1 Схема действия магнитного поля на проводник с током. Рис.2 Сила Ампера

Сила Лоренца

$\mathbf{F} = q\mathbf{E} + q[\mathbf{V}\mathbf{B}]$, \mathbf{F} , [Н] – векторная сумма сил действующих со стороны электрического поля (первое слагаемое) с напряженностью \mathbf{E} [В/м] и магнитного поля (второе слагаемое) с индукцией \mathbf{B} [Тл] на электрический заряд величиной q [Кл], движущийся со скоростью \mathbf{V} [м/с]. При отсутствии электрического поля $\mathbf{F} = q \mathbf{V} \mathbf{B} \sin\alpha$, где α – угол между векторами \mathbf{V} и \mathbf{B} . Сила Лоренца не совершает работы. Величину вектора магнитной



индукции $\mathbf{B} = \mathbf{F}_{\max} / q\mathbf{V}$ можно определить как максимальную силу, действующую на заряд в 1 кулон, который движется со скоростью 1 м/с; Тл = Н с/Кл м.

Рис. 3 Схема действия магнитного поля на подвижный электрический заряд. При условии $E \ll [VB]$, траектория движения – кривая линия в плоскости

XZ : вектор скорости перпендикулярен вектору \mathbf{B} .

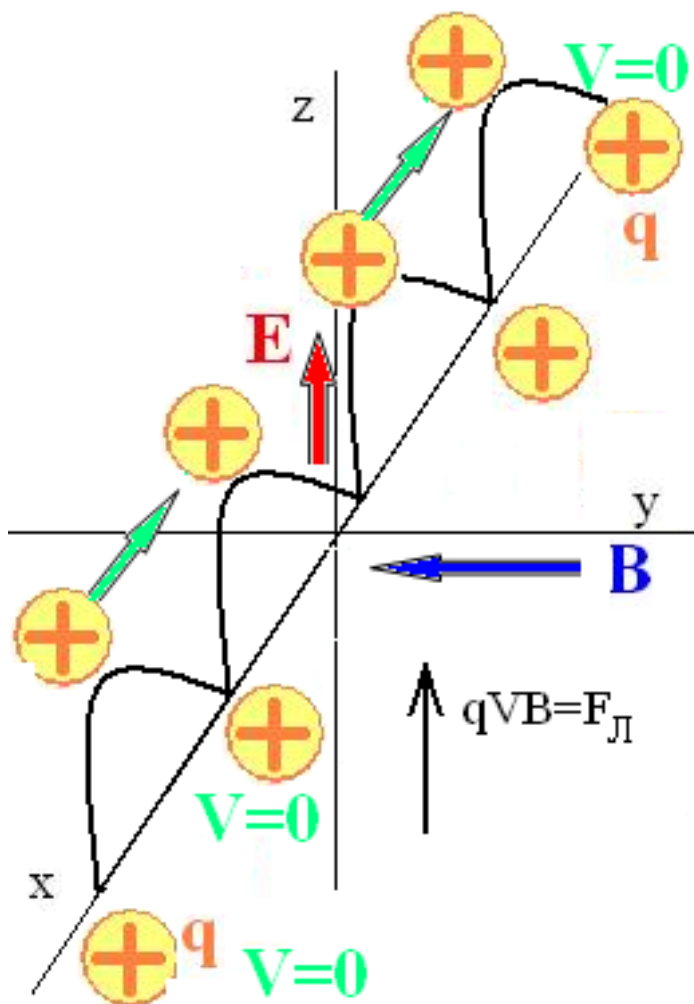
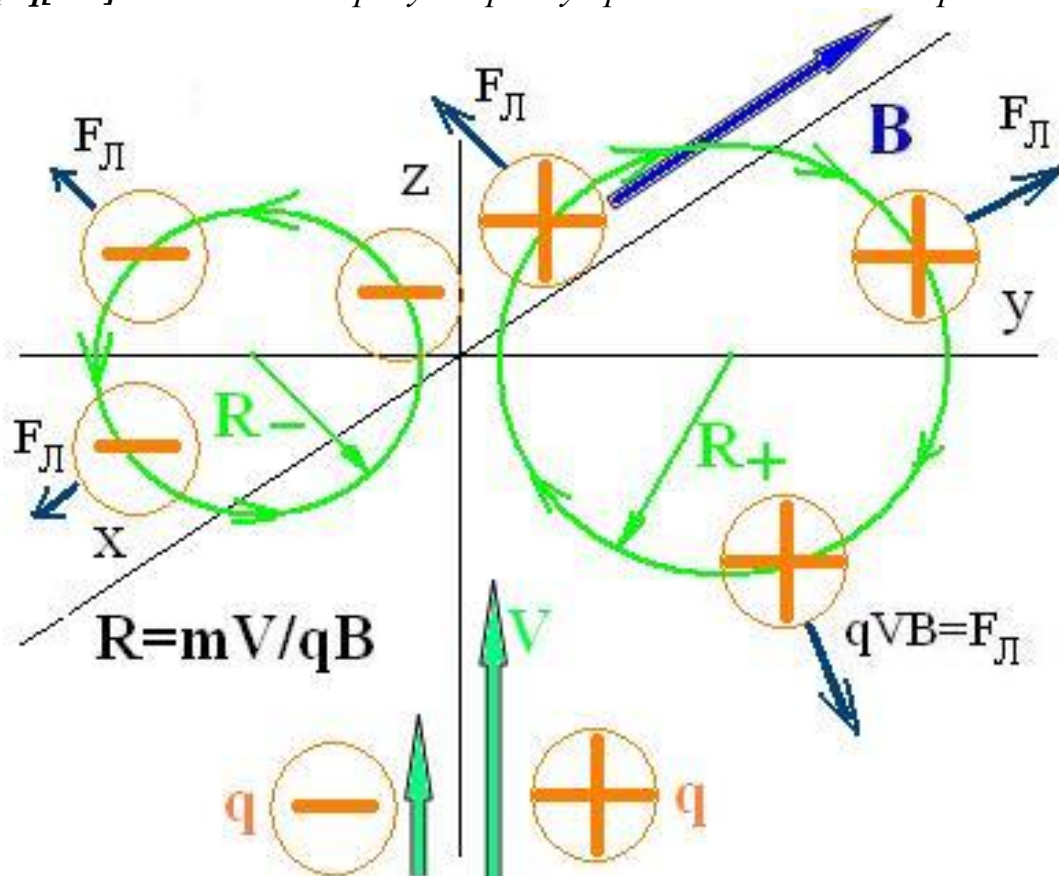


Рис. 4 Схема совместного действия скрещенных (под углом 90°) электрического и магнитного полей на подвижный электрический заряд. Траектория движения заряда – кривая линия в плоскости XZ : вектор скорости V , вектор магнитной индукции B и вектор силы Лоренца $F_L=q[VB]$ перпендикулярны друг другу.

На рисунках №№ 3 - 5 представлены схемы действия магнитного поля на подвижный электрический заряд в зависимости от пространственного расположения направления движения заряда и векторов магнитной индукции и напряженности электростатического поля.

Рис. 5 Схема силового воздействия магнитного поля на подвижные электрические заряды. Траектория движения заряда – окружность в плоскости YZ : вектор скорости V , вектор магнитной индукции B и вектор силы Лоренца $F_L=q[VB]$ составляют правую тройку ортогональных векторов.

Лоренца $F_L=q[VB]$ составляют правую тройку ортогональных векторов.



Закон Био – Савара – Лапласа.

В дифференциальной форме: $d\mathbf{B} = \mu_0 \mathbf{I} [d\mathbf{l} \mathbf{r}] / 4\pi r^3$, где $d\mathbf{B}$ – приращение вектора магнитной индукции, возникающей при протекании тока \mathbf{I} по элементарному участку проводника $d\mathbf{l}$, \mathbf{r} – радиус вектор из $d\mathbf{l}$ в точку искомого приращения вектора магнитной индукции;

в интегральной форме: $\mathbf{B} = \frac{\mu_0}{4\pi} \int_a^b \frac{\mathbf{I} \sin\alpha d\mathbf{l}}{r^2}$, где a и b начало и конец проводника \mathbf{l} , α – угол между векторами \mathbf{r} и $d\mathbf{l}$ (совпадает с направлением тока); размерность Тесла [Тл].

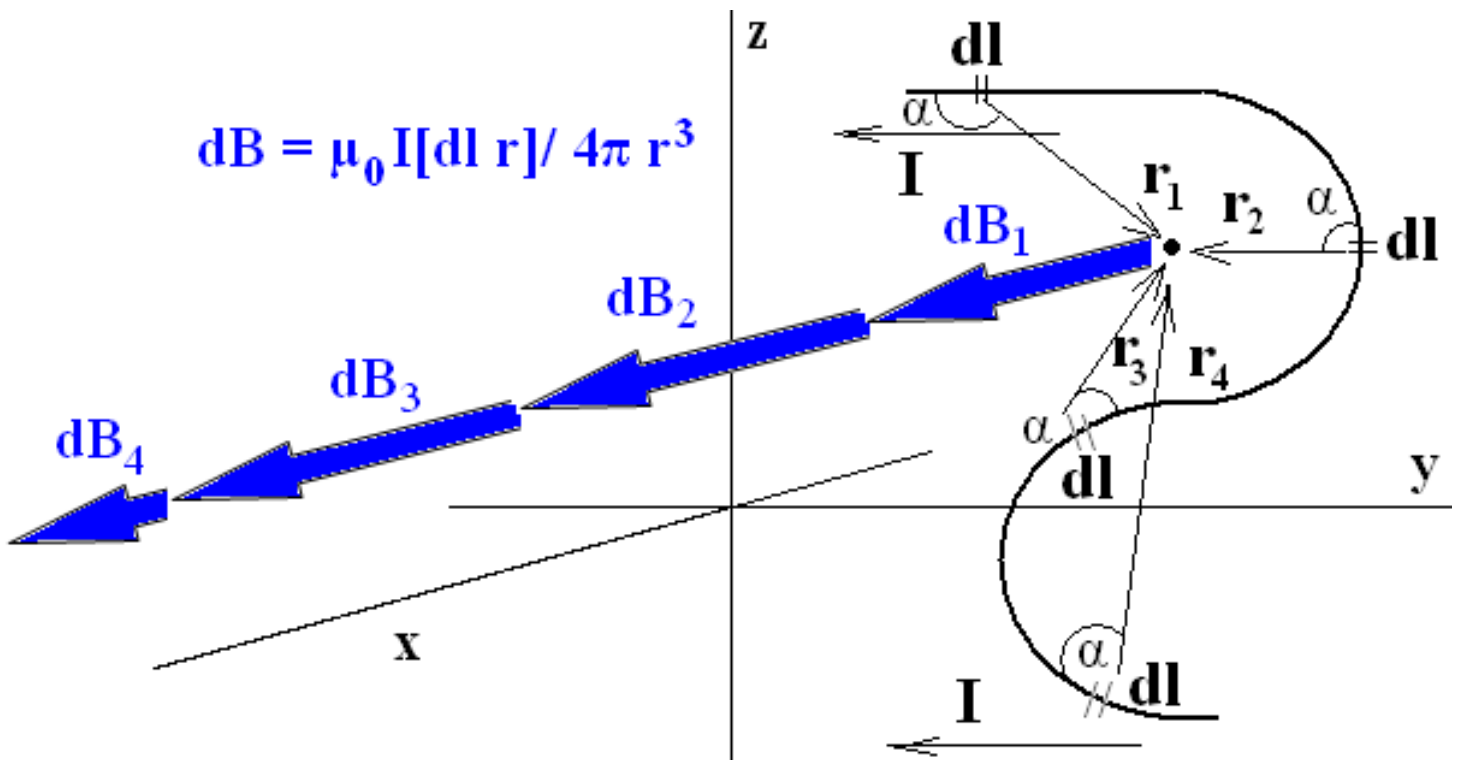


Рис. 6 Схема, иллюстрирующая Закон Био – Савара – Лапласа. Приращение вектора магнитной индукции от соответствующих участков проводника при протекании тока \mathbf{I} . Вектор магнитной индукции \mathbf{B} , участок с током $d\mathbf{l}$, и радиус вектор \mathbf{r} составляют правую тройку ортогональных векторов.

Магнитный момент.

Магнитный момент замкнутого контура с током: $\mathbf{p}_m = I \mathbf{S} \mathbf{n}$, где I – сила тока, \mathbf{S} – площадь ограниченная контуром, \mathbf{n} – единичный вектор нормали к \mathbf{S} . Действие магнитного поля на замкнутый контур определяет \mathbf{p}_m . Вращательный момент сил (\mathbf{M}), действующий со стороны магнитного поля на замкнутый контур с током не зависит от его формы: $\mathbf{M} = [\mathbf{p}_m \mathbf{B}] = p_m B \sin \alpha$.

Величину вектора магнитной индукции можно определить как: $B = M_{\max} / p_m$. Сл-но, вектор магнитной индукции – силовая характеристика магнитного поля, аналог напряженности электростатического поля.

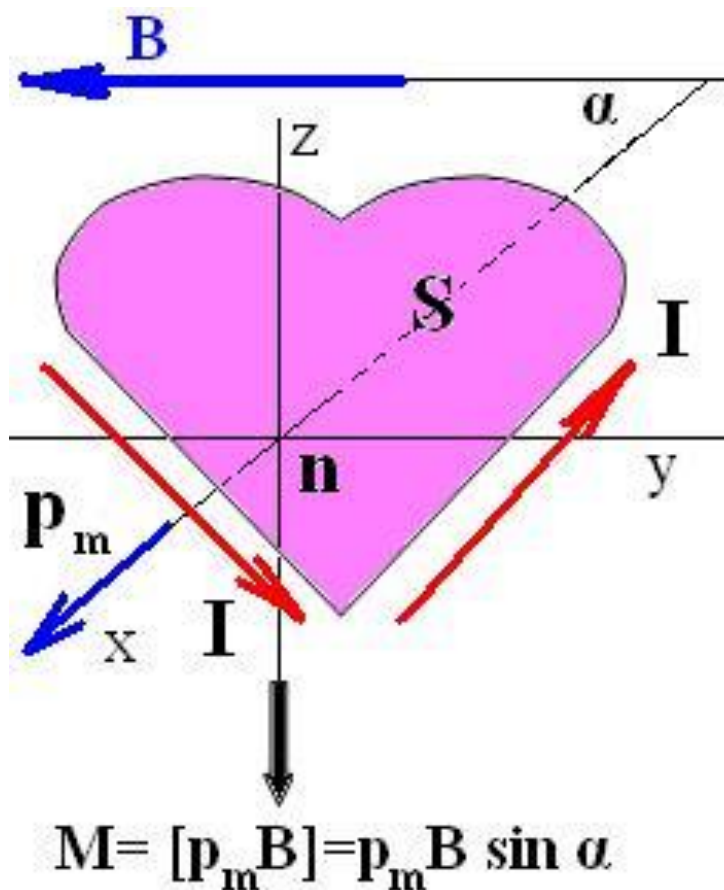


Рис. 7 Схема, иллюстрирующая взаимодействие магнитного поля и замкнутого плоского контура с током. Вектор магнитного момента контура с током совпадает с осью X, т.к. контур с током лежит в плоскости YZ. Если вектор \mathbf{B} и ось Y коллинеарные возникает механический момент сил \mathbf{M} коллинеарный с осью Z. Момент сил \mathbf{M} ортогонален векторам \mathbf{B} и \mathbf{p}_m .

Поток вектора магнитной индукции

$\Phi_B = \int \mathbf{B}, d\mathbf{S}$ - скалярное произведение, где Φ_B [Вб] – поток вектора магнитной индукции, \mathbf{B} – вектор магнитной индукции, \mathbf{S} – площадь, через которую воздействует магнитное поле, $d\mathbf{S}$ имеет смысл вектора с модулем dS и направлением нормали к поверхности $d\mathbf{S}$. $\Phi_B = B S \cos \alpha$.

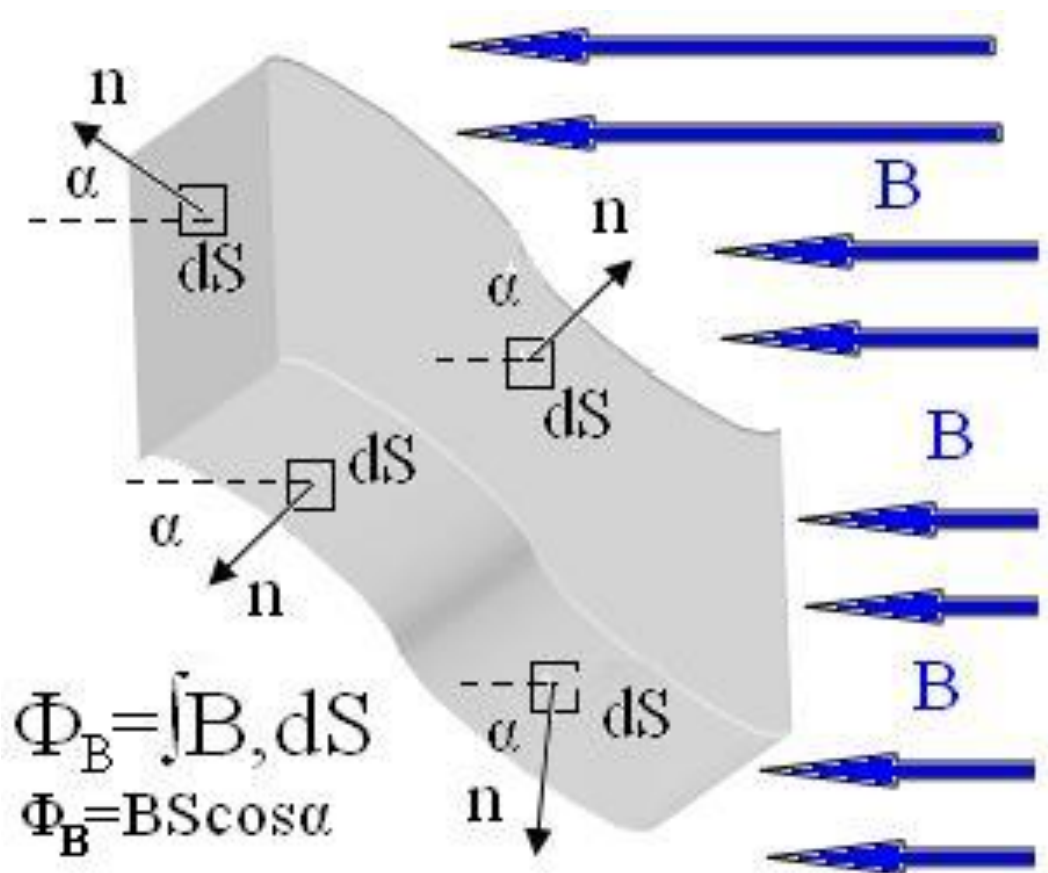


Рис. 8 Схема, иллюстрирующая величину магнитного потока через произвольную поверхность. Магнитный поток имеет смысл плотности силовых линий магнитного поля на заданной поверхности. Магнитный поток имеет положительный знак, когда угол $\alpha < 90^\circ$, отрицательный при $\alpha > 90^\circ$ и равен нулю если $\alpha = 90^\circ$.

Теорема Гаусса для вектора магнитной индукции.

В дифференциальной форме: $\text{div}\mathbf{B}=\mathbf{0}$; в интегральной форме: $\oint \mathbf{B}, d\mathbf{S} = \mathbf{0}$.

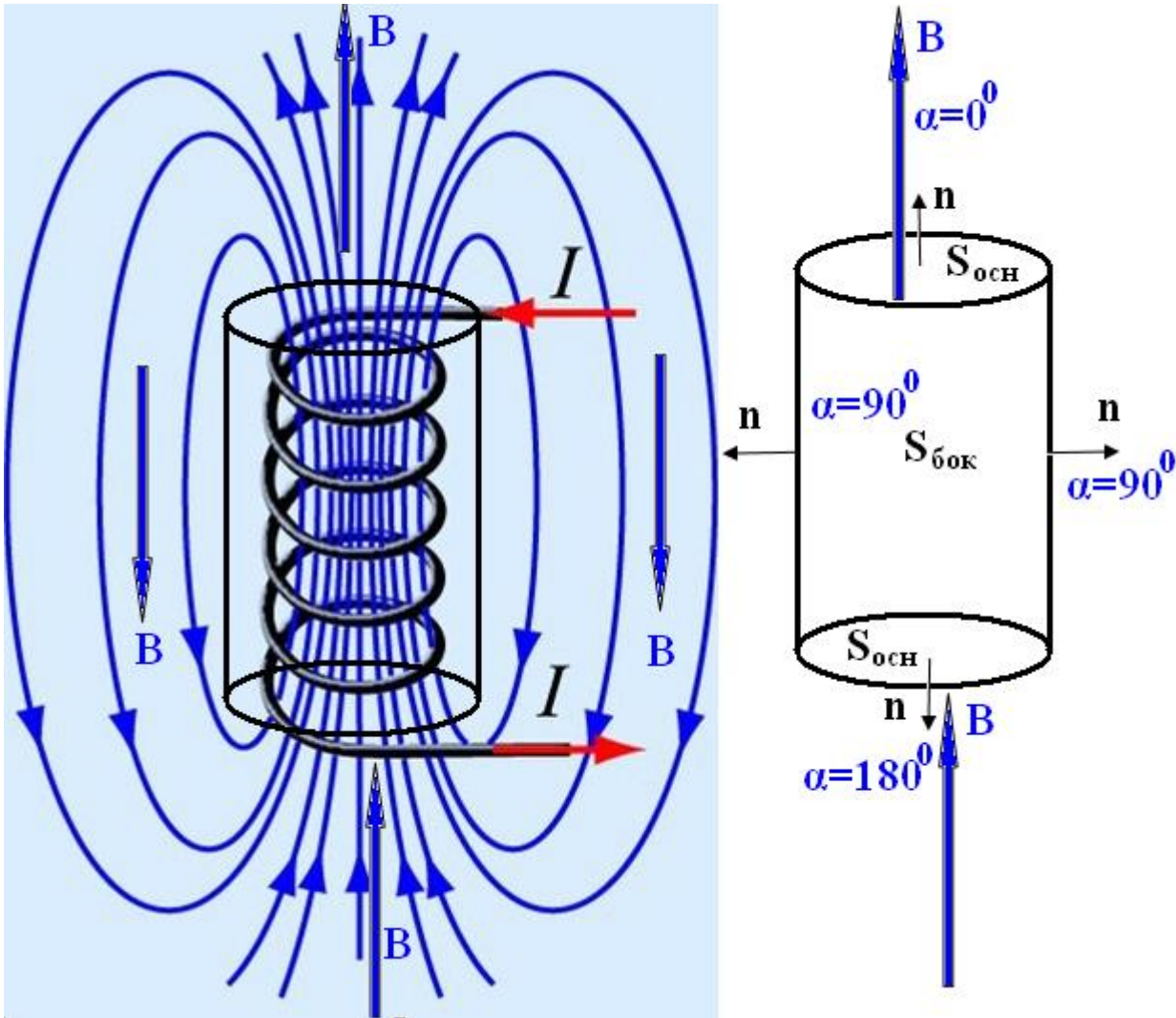


Рис. 9 Иллюстрация теоремы Гаусса для потока вектора магнитной индукции на примере соленоида внутри воображаемого цилиндра. Магнитный поток через боковую поверхность равен нулю ($\alpha=90^\circ$), а через нижнее и верхнее основания цилиндра магнитные потоки равны по величине и противоположны по знаку. В итоге, суммарный поток $\Phi_B=0$.

Теорема о циркуляции вектора магнитной индукции (закон полного тока).

В дифференциальной форме: $\text{rot}\mathbf{B} = \mu_0 \mathbf{j}$, где \mathbf{j} – вектор плотности тока;

в интегральной форме: $\oint \mathbf{B}_l d\mathbf{l} = \mu_0 \int \mathbf{j}, d\mathbf{S} = \mu_0 \sum_{i=0}^n \mathbf{I}_i$, где $d\mathbf{l}$ элементарный участок замкнутого контура l , который охватывает поверхность площадью \mathbf{S} , \mathbf{j} – вектор плотности тока проходящего сквозь поверхность $d\mathbf{S}$, \mathbf{I}_i – токи, проходящие сквозь поверхность $d\mathbf{S}$ со знаком, который учитывает направление тока.

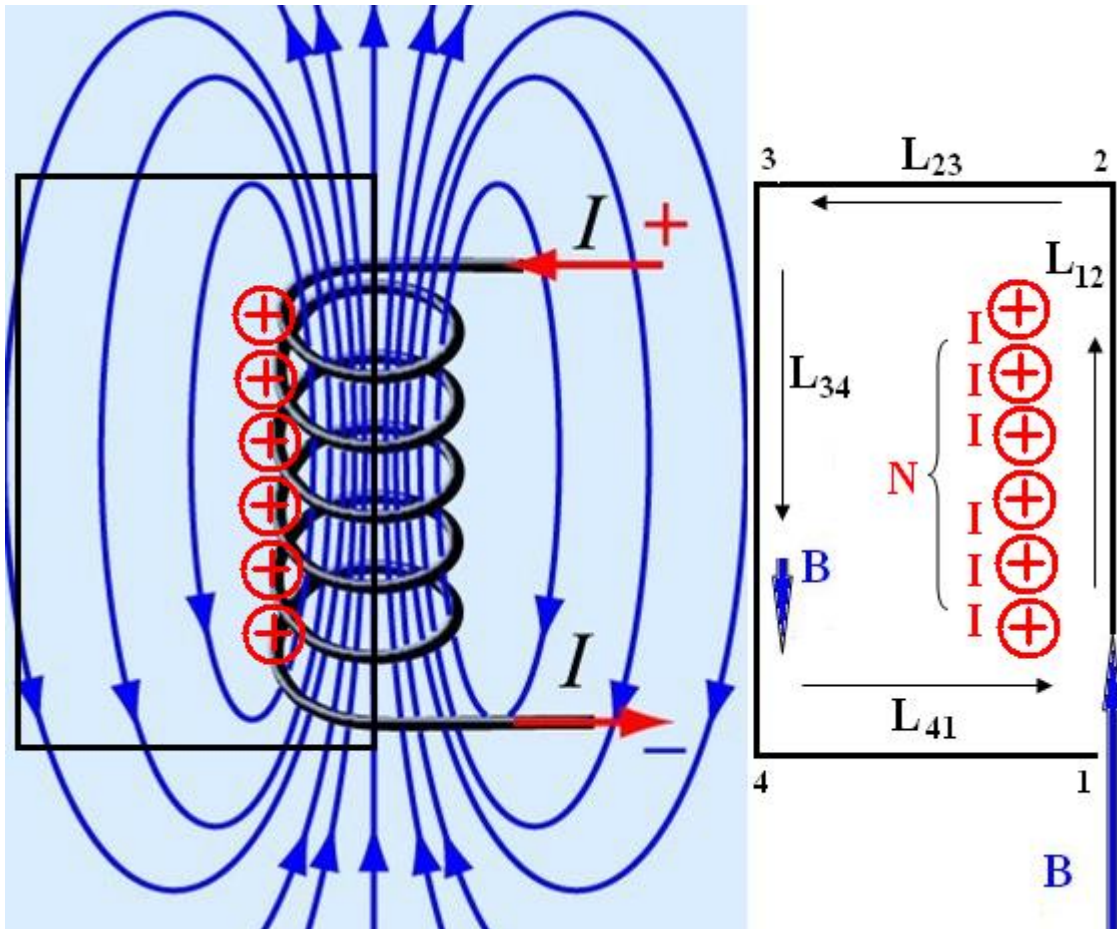


Рис. 10 Иллюстрация теоремы о циркуляции вектора магнитной индукции на примере соленоида и воображаемого прямоугольника 1234. $\mathbf{B}l = \mathbf{B}_{12}l_{12} + \mathbf{B}_{23}l_{23} + \mathbf{B}_{34}l_{34} + \mathbf{B}_{41}l_{41} = NI$. Поскольку, $\mathbf{B}_{23}l_{23} = -\mathbf{B}_{41}l_{41}$, а $\mathbf{B}_{34}l_{34} \ll \mathbf{B}_{12}l_{12}$ в силу малости \mathbf{B} на участке 34, следует: $\mathbf{B}_{12}l_{12} = NI$.

Напряженность магнитного поля.

Напряженность магнитного поля - физическая величина с размерностью [А/м], определяемая соотношением $\mathbf{H} = -\mathbf{J} + \mathbf{B} / \mu_0$, где \mathbf{J} - суммарный магнитный момент микроскопических токов (в масштабе размеров атомов и молекул) единицы объема вещества, \mathbf{B} – вектор магнитной индукции в веществе. Таким образом, величина магнитной индукции в веществе $\mathbf{B} = \mu_0 \mathbf{H} + \mathbf{J}$. Теорема о циркуляции вектора напряженности магнитного поля: циркуляция вектора \mathbf{H} по замкнутому контуру равна алгебраической сумме макроскопических токов (в масштабе много больше размера молекул): $\oint \mathbf{H}_l d\mathbf{l} = \sum_{i=0}^n I_i$.

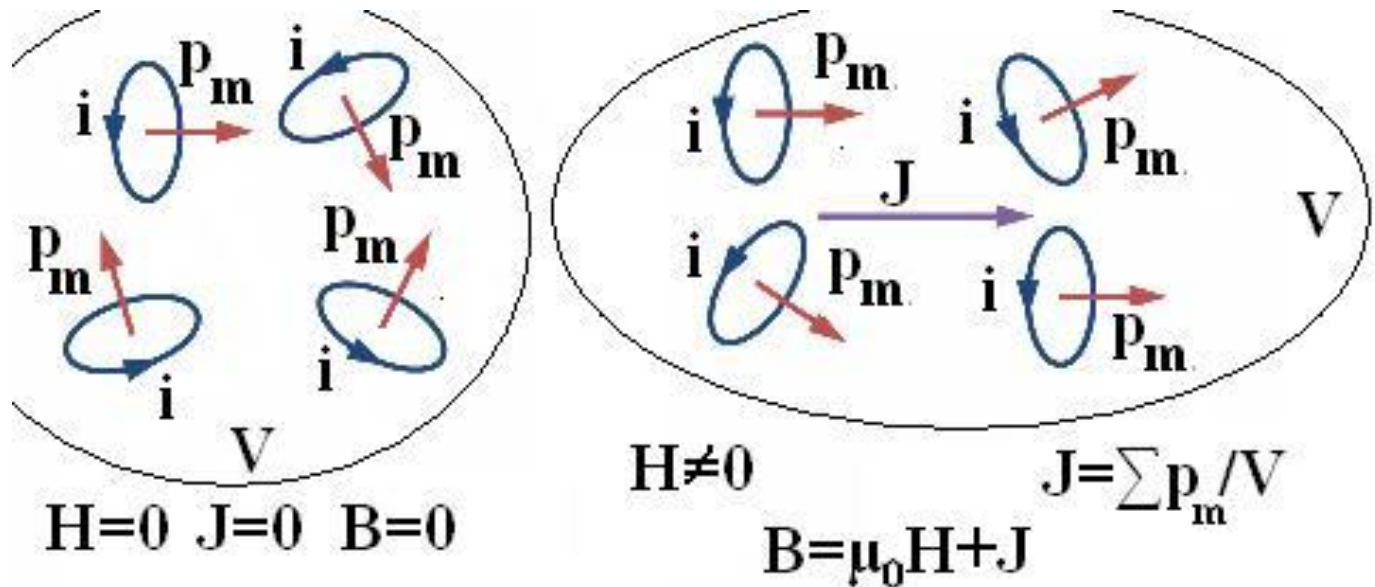


Рис. 11 Иллюстрация процесса намагничивания вещества за счет ориентации микроскопических токов и соответствующих им магнитных моментов атомов и молекул

Работа в магнитном поле, совершаемая при перемещении проводника с током.

В магнитном поле при перемещении проводника с током I возникает сила Ампера $d\mathbf{f} = I[d\mathbf{l} \times \mathbf{B}]$. На прямолинейный проводник длиной l результирующая сила $\mathbf{f} = I l \times \mathbf{B}$. При перемещении проводника на расстояние $d\mathbf{x}$, эта сила совершит работу $dA = \mathbf{f} d\mathbf{x} = I l \mathbf{B} d\mathbf{x}$. Поскольку $l \mathbf{B} d\mathbf{x} = d\Phi_B$ – поток вектора магнитной индукции через поверхность площадью $l d\mathbf{x}$, $dA = I d\Phi_B$, где $d\Phi_B$ – поток магнитной индукции пересекать проводником за время движения. С учетом того, что сила Лоренца не может совершать работы, работу совершает источник тока.

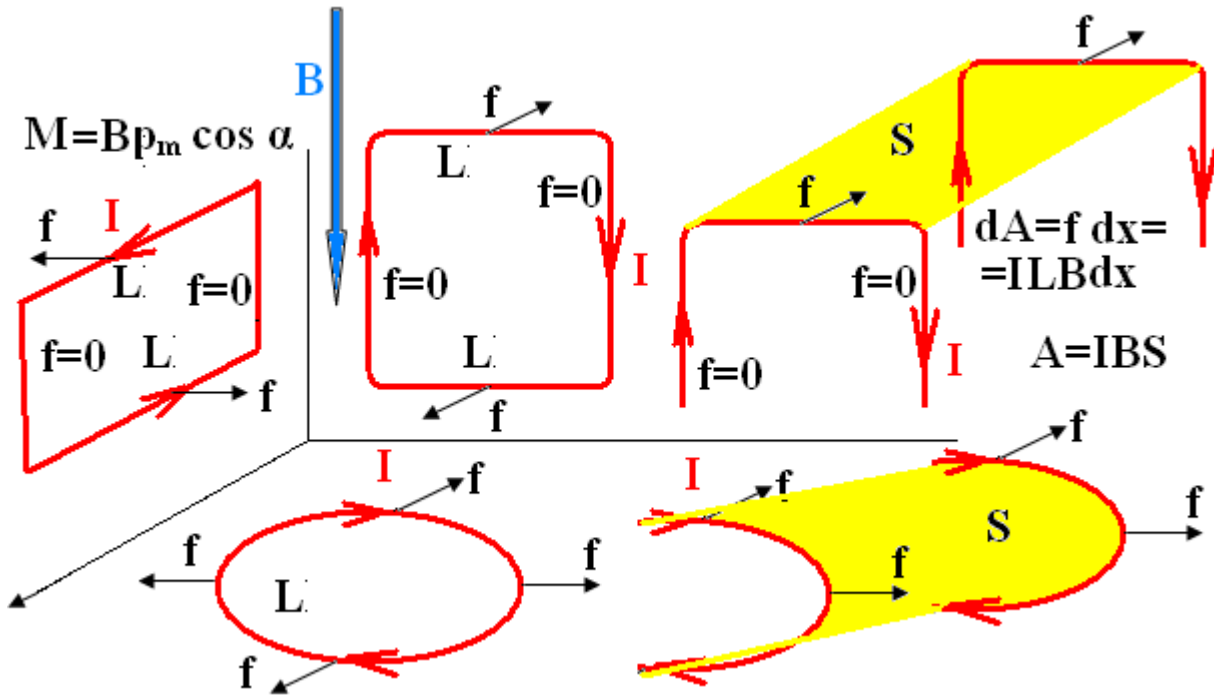


Рис. 12 Схема пространственного расположения и действия сил и моментов сил со стороны магнитного поля на замкнутые и незамкнутые контуры с током I , соответственно. Работа в магнитном поле, совершаемая при перемещении проводника с током.

Электромагнитная индукция. Электродвижущая сила индукции. Закон Фарадея. Правило Ленца.

Изменение (величины и/или направления) потока магнитной индукции (Φ_B) через поверхность, ограниченную электропроводящим контуром, вызывает электрический ток (индукционный) в этом замкнутом контуре. Это явление называют *электромагнитной индукцией*, которая создает (*электродвижущую силу индукции* (э.д.с.)). Появление э.д.с. обусловлено действием силы Лоренца: $\mathbf{f} = e\mathbf{v}\mathbf{B}$, где e – заряд электрона, \mathbf{v} – его скорость, \mathbf{B} – индукция магнитного поля. Эквивалентно можно записать: $\mathbf{f} = e\mathbf{E} = e\mathbf{v}\mathbf{B}$, сл - но, $\mathbf{E} = \mathbf{v}\mathbf{B}$, где \mathbf{E} – вектор напряженности поля не электростатического происхождения (поле сторонних сил), а э.д.с. - его циркуляция по замкнутому контуру (рис. 13): $\varepsilon_i = \oint \mathbf{E}_i d\mathbf{l} = \mathbf{E}L = \mathbf{vBL} = \mathbf{B} \frac{Lvdt}{dt} = \mathbf{B} \frac{dS}{dt} = \frac{d\Phi_B}{dt}$.

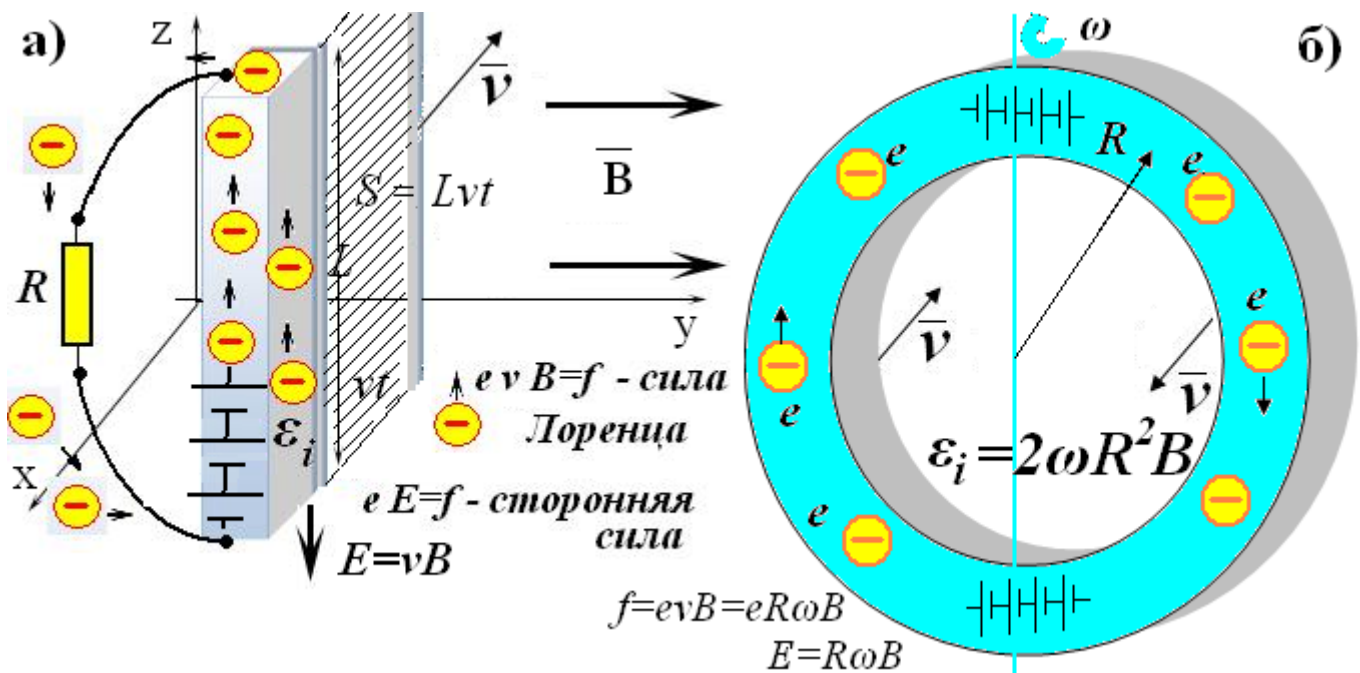


Рис. 13 Появление э.д.с. при прямолинейном (а) и вращательном (б) движении проводника в магнитном поле. Вектор скорости свободных электронов в проводнике совпадает с осью X , вектор индукции магнитного поля - с осью Y , э.д.с. формирует ток вдоль оси Z (при прямолинейном движении $\varepsilon_i = \mathbf{B}\mathbf{L}\mathbf{v}$, при вращении $2\omega R^2 B$, причем ε_i дважды за период меняет знак; по правилу Ленца индукционный ток создает магнитное поле, тормозящее движение проводника; чем больше скорость, тем сильнее торможение).

Закон Фарадея: $\varepsilon_i = - \frac{d\Phi_B}{dt}$, где знак «-», согласно правилу Ленца, указывает на противоположные направления приращений э.д.с. и Φ_B . **Правило Ленца:** действие э.д.с. направлено так, чтобы индукционный ток противодействовал причине его вызывающей. Т.е., растущий Φ_B формирует э.д.с., которая вызывает индукционный ток, создающий Φ_B противоположный по направлению исходному, и наоборот, убывающий Φ_B формирует э.д.с., из-за которой возникает индукционный ток, создающий Φ_B совпадающий по направлению с исходным. В обоих случаях реализуется принцип отрицательной обратной связи, когда реакция системы направлена на ослабление силы, вызывающей эффект электромагнитной индукции.

Явление самоиндукции.

Электрический ток I в любом контуре (см. рис. 14) создает магнитный поток Φ_B или полный магнитный поток (потокосцепление) $\Psi = \sum \Phi_B$. Из закона Био - Савара следует: $\Psi = LI$, где L – **индуктивность контура** – коэффициент пропорциональности между силой тока и создаваемым потокосцеплением зависящий от геометрии контура и магнитных свойств среды (диа-, пара-, ферромагнетики и др. материалы) в которой создается магнитный поток. L – не зависит от силы тока (напряженности магнитного поля) если контур с током окружен средой не содержащей ферромагнетики; в противном случае L сложным образом возрастает с увеличением силы тока.

Из-за эффекта электромагнитной индукции с увеличением силы тока в контуре возникает э.д.с. самоиндукции, которая пропорциональна скорости изменения потокосцепления $\xi_{s.i.} = -\frac{d\Psi}{dt} = -\frac{d(LI)}{dt} = -(L\frac{dI}{dt} + I\frac{dL}{dt})$. Если в окрестности контура нет ферромагнетиков, второе слагаемое обращается в ноль и $\xi_{s.i.} = -L\frac{dI}{dt}$. По правилу Ленца, э.д.с. самоиндукции направлено так чтобы противодействовать изменению потокосцепления, а именно: 1) при возрастании магнитного потока индуцируется ток, создающий противоположный по направлению магнитный поток; 2) при убывании магнитного потока индуцируется ток, создающий магнитный поток сонаправленный исходному. Следовательно, реализуется принцип *отрицательной обратной связи*: 1) при возрастании тока - индуцируется ток в противоположном направлении; 2) при убывании тока - индуцируется сонаправленный ток.

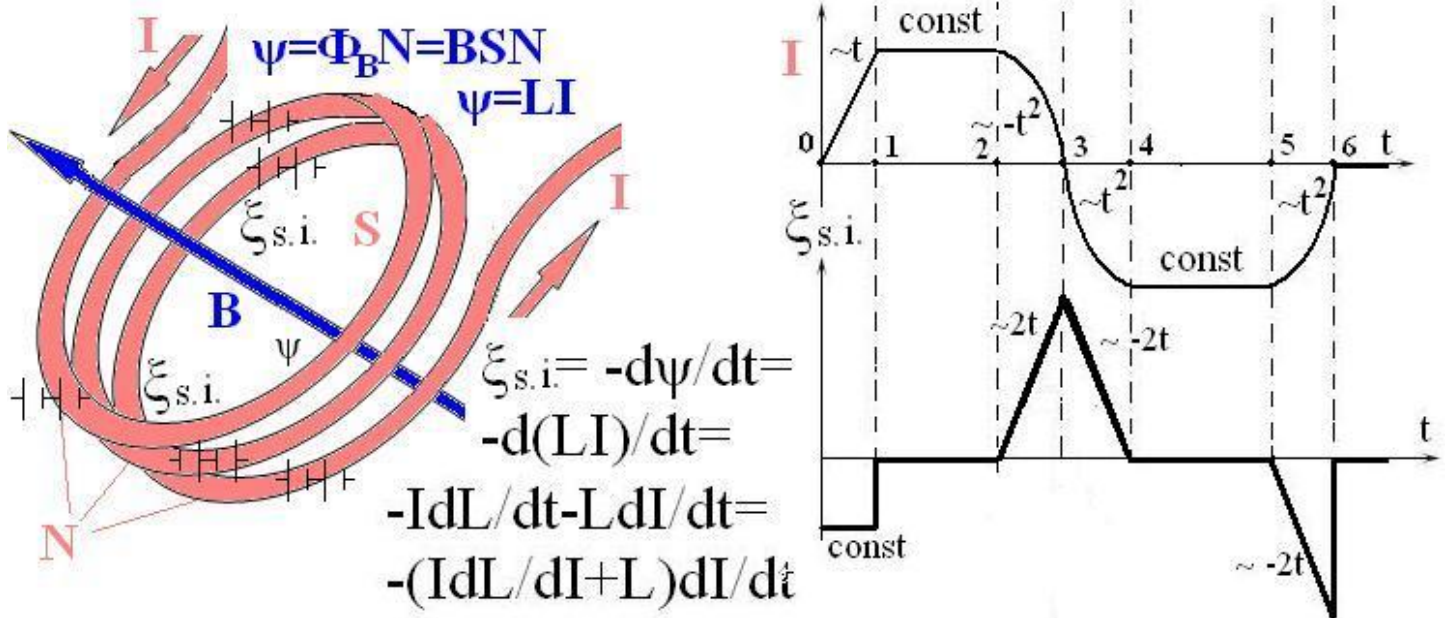


Рис. 14 Появление э.д.с. самоиндукции. Э.д.с. самоиндукции $\xi_{s.i.}$ возникает при изменении во времени величины потокосцепления, зависящего от размеров, геометрии контура с током, магнитных свойств среды. Графическая иллюстрация э.д.с. как функции силы тока и времени; при $L = const$, $\xi_{s.i.} = -LdI/dt$ и известной $I = f(t)$. На временных отрезках 1-2 и 4-5 э.д.с. самоиндукции не возникает. На 0-1 э.д.с. = const, т.к. ток линейно возрастает. Для 2-3, 3-4, 5-6 характерно линейное изменение со временем, т.к. сила тока на этих участках имеет параболическую зависимость от времени.

Электрические колебания.

Незатухающие колебания величин напряженности электрического и магнитного поля могут возникнуть в замкнутом контуре, содержащем индуктивность и ёмкость без активного сопротивления (см. рис. 15).

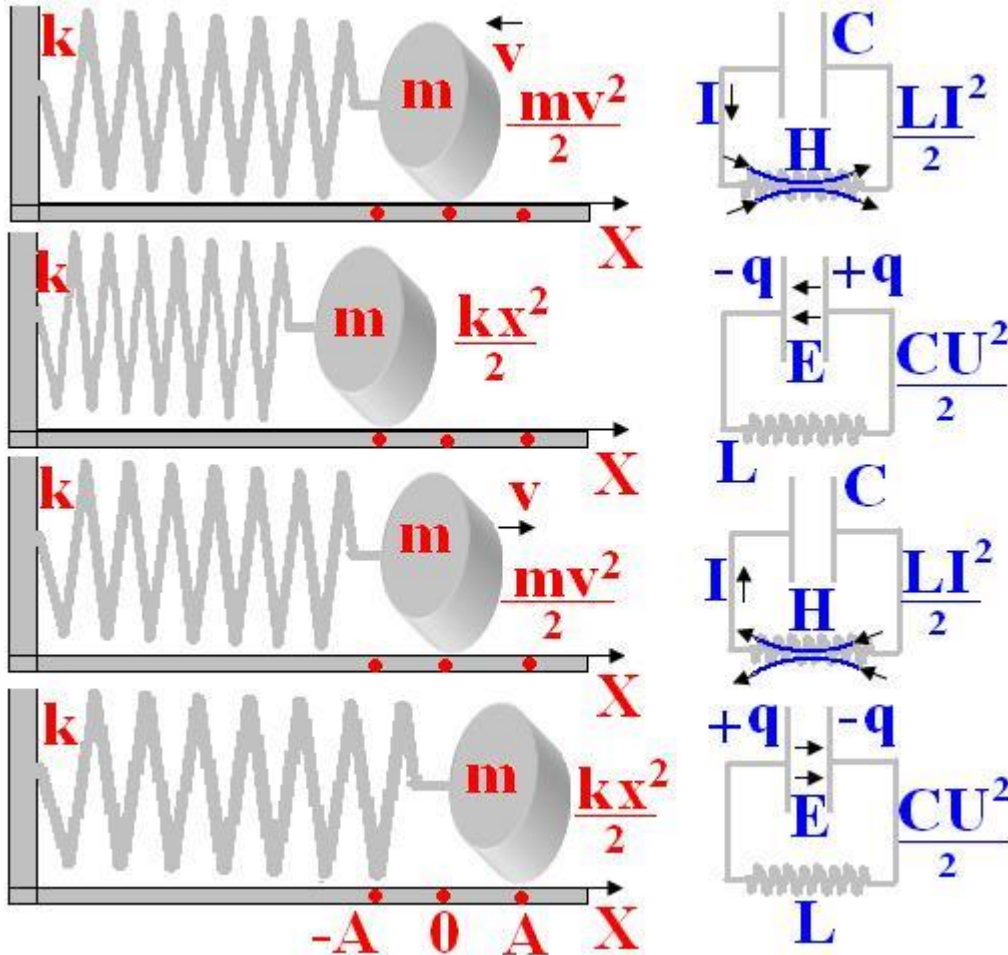


Рис. 15 – Ряд превращений механической энергии пружинного маятника и аналогичная последовательность для энергии электрического и магнитного полей при незатухающих колебаниях в замкнутом контуре, содержащем индуктивность и ёмкость без активного сопротивления.

Падение напряжения на конденсаторе $U_C = q/C$, а на соленоиде $U_L = L di/dt$. Сл-но, $d^2q/dt^2 + q/LC = 0$ $\ddot{q} + \omega_0^2 q = 0$ - каноническое дифференциальное уравнение для незатухающих колебаний, где $\omega_0 = 1/\sqrt{LC}$ - собственная частота, а $T = 2\pi\sqrt{LC}$ - период колебаний. Решение канонического диф. уравнения: $q = q_m \cos(\omega_0 t + \alpha)$.

Для реального (с активным сопротивлением) контура: $d^2q/dt^2 + RI/L + q/LC = 0$

$\ddot{q} + 2\beta\dot{q} + \omega_0^2 q = 0$ - каноническое дифференциальное уравнение затухающих

колебаний, где $\beta = R/2L$ – коэффициент затухания. Решение канонического диф.

уравнения: $q = q_m e^{-\beta t} \cos(\omega t + \alpha)$, где $\omega = \sqrt{\omega_0^2 - \beta^2}$.

Вынужденные колебания возникают при внешнем периодическом воздействии переменных э.д.с. ($\xi_m \cos \omega t$) или напряжения ($U_m \cos \omega t$). Тогда:

$Ld^2q/dt^2 + Rdq/dt + q/C = U_m \cos \omega t$ $\ddot{q} + 2\beta\dot{q} + \omega_0^2 q = \frac{U_m}{L} \cos \omega t$ - каноническое дифференциальное уравнение вынужденных колебаний. Частное решение канонического

диф. уравнения: $q = q_m \cos(\omega t - \psi)$, где $q_m = \frac{U_m}{L} / \sqrt{(\omega_0^2 - \omega^2)^2 + 4\beta^2 \omega^2}$, $\operatorname{tg} \psi =$

$2\beta\omega / (\omega_0^2 - \omega^2)$. А полное решение, как сумма частного решения неоднородного и общего решения однородного уравнений: $q = q_m [\cos(\omega t - \psi) + e^{-\beta t} \cos(\omega t + \alpha)]$, где второе слагаемое обращается в ноль вскоре после начала действия переменного напряжения.

При вынужденных колебаниях: $U_C = \frac{q_m}{C} = U_{C_m} \cos(\omega t - \psi)$, и $I = \dot{q} = \omega q_m \operatorname{si}(\omega t - \psi)$,

где $U_{C_m} = U_m / \omega C \sqrt{R^2 + (\omega L - 1/\omega C)^2}$, $I_m = \omega q_m = U_m / \sqrt{R^2 + (\omega L - 1/\omega C)^2}$.

ЭЛЕКТРОМАГНИТНЫЕ ВОЛНЫ

Как видно на рис. 15 запас энергии электрического поля превращается в энергию магнитного - и наоборот; эта последовательность вызывает электромагнитные колебания в замкнутом контуре. Переменное электрическое поле возбуждает переменное магнитное поле, которое в свою очередь вызывает переменное электрическое поле. Эта последовательность означает периодическое изменение векторов напряженности, индукции (\mathbf{D} , \mathbf{E}) электрического и магнитного (\mathbf{H} , \mathbf{B}) полей в соответствующих участках контура, обладающих электроёмкостью и индуктивностью.

Теорема о циркуляции напряженности электрического поля, Закон Фарадея (закон электромагнитной индукции), теорема Гаусса для индукции магнитного поля в интегральной форме дают основание записать

ПЕРВОЕ: $\oint \mathbf{E}_l d\mathbf{l} = - \int \left(\frac{\partial \mathbf{B}}{\partial t} \right)_n d\mathbf{S}$ и **ВТОРОЕ**: $\oint \mathbf{B}_n d\mathbf{S} = \mathbf{0}$ уравнения Максвелла.

Абсолютно симметрично, теорема о циркуляции напряженности магнитного поля (закон полного тока), теорема Гаусса для индукции электрического поля в интегральной форме дают основание записать

ТРЕТЬЕ: $\oint \mathbf{H}_l d\mathbf{l} = \int \mathbf{j}_n d\mathbf{S} + \int \left(\frac{\partial \mathbf{D}}{\partial t} \right)_n d\mathbf{S}$ и **ЧЕТВЁРТОЕ**: $\oint \mathbf{D}_n d\mathbf{S} = \int \rho dV$ уравнения Максвелла.

Третье уравнение дает закон возникновения магнитного поля и связывает величину напряженности с токами проводимости (макроскопические токи) и токами смещения (микроскопические токи), порождающими магнитное поле. Четвёртое уравнение указывает на наличие «источков» и «стоков» в объеме окружающей среды (электрические заряды) для вектора индукции электрического поля. Каждому из четырех уравнений в интегральной форме соответствует дифференциальная форма: **ПЕРВОЕ**: $\text{rot}\mathbf{E} = -d\mathbf{B}/dt$, **ВТОРОЕ**: $\text{div}\mathbf{B} = 0$, **ТРЕТЬЕ**: $\text{rot}\mathbf{H} = \mathbf{j} + d\mathbf{D}/dt$, **ЧЕТВЁРТОЕ**: $\text{div}\mathbf{D} = \rho$.

Пятым, Шестым и Седьмым уравнениями Максвелла будут:

$\mathbf{D} = \epsilon_0 \epsilon \mathbf{E}$, $\mathbf{B} = \mu_0 \mu \mathbf{H}$, $\mathbf{j} = \sigma \mathbf{E}$. Первое и третье уравнения записаны для векторов, следовательно, в скалярном виде их шесть. Итого получается система из одиннадцати уравнений Максвелла. Решение этой системы уравнений – фундаментальный подход электродинамики. Если записать систему уравнений для нейтральной (без разделенных зарядов, $\rho = 0$) и непроводящей (без носителей заряда или с их нулевой подвижностью, $\mathbf{j} = 0$) окружающей среды, то получим:

$$d\mathbf{B}/dt = \mu_0 \mu d\mathbf{H}/dt; \partial \mathbf{D}/\partial t = \epsilon_0 \epsilon \partial \mathbf{E}/\partial t; \text{div}\mathbf{B} = \mu_0 \mu \text{div}\mathbf{H}; \text{div}\mathbf{D} = \epsilon_0 \epsilon \text{div}\mathbf{E}; \text{div}\mathbf{H} = 0; \text{div}\mathbf{E} = 0;$$

$$\text{rot}\mathbf{E} = -\mu_0 \mu d\mathbf{H}/dt; \text{rot}\mathbf{H} = \epsilon_0 \epsilon \partial \mathbf{E}/\partial t; \text{rot}(\text{rot}\mathbf{E}) = -\mu_0 \mu d\mathbf{H}/dt; \text{rot}(\text{rot}\mathbf{H}) = \epsilon_0 \epsilon d\mathbf{E}/dt.$$

Следовательно, $\text{rot}(\text{rot}\mathbf{E})=-\mu_0\mu\epsilon_0\epsilon(\mathbf{d}^2\mathbf{E}/\mathbf{d}t^2)$ и симметрично $\text{rot}(\text{rot}\mathbf{H})=-\mu_0\mu\epsilon_0\epsilon(\mathbf{d}^2\mathbf{H}/\mathbf{d}t^2)$, т.к. $\text{rot}(\text{rot}\mathbf{E})=\text{graddiv}\mathbf{E}-\Delta\mathbf{E}$, а поскольку $\text{graddiv}\mathbf{E}=\mathbf{0}$, то $\text{rot}(\text{rot}\mathbf{E})=-\Delta\mathbf{E}$, а $\text{rot}(\text{rot}\mathbf{H})=-\Delta\mathbf{H}$, где $\Delta\mathbf{E} = \frac{d^2\mathbf{E}}{dx^2} + \frac{d^2\mathbf{E}}{dy^2} + \frac{d^2\mathbf{E}}{dz^2}$ и $\Delta\mathbf{H} = \frac{d^2\mathbf{H}}{dx^2} + \frac{d^2\mathbf{H}}{dy^2} + \frac{d^2\mathbf{H}}{dz^2}$. Получаем два симметричных уравнения: $\Delta\mathbf{E}=\mu_0\mu\epsilon_0\epsilon(\mathbf{d}^2\mathbf{E}/\mathbf{d}t^2)$; $\Delta\mathbf{H}=\mu_0\mu\epsilon_0\epsilon(\mathbf{d}^2\mathbf{H}/\mathbf{d}t^2)$; которые называют дифференциальными уравнениями волнового процесса – *распространение в пространстве энергии электрического и магнитного полей (электромагнитное излучение или электромагнитная волна)*. Реальные колебательные контуры представляют собой источники электромагнитных волн (см. рис. 16). На краях конденсатора или соленоида линии напряженности выходят за конструктивные пределы ёмкости и индуктивности, что приводит к распространению энергии за пределы замкнутого контура и возбуждению электромагнитной волны.

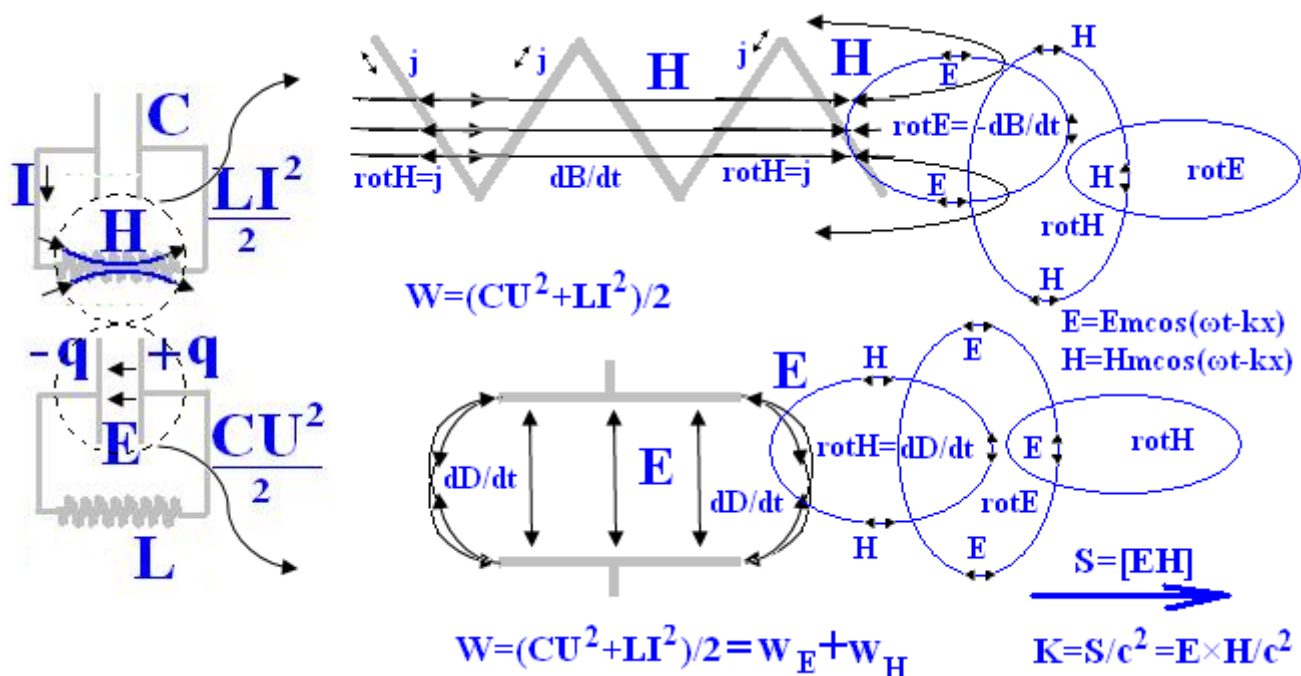


Рис. 16 – Иллюстрация вихревого характера электромагнитного поля.

Последовательно возбуждения электромагнитной волны за счет энергии электрического и магнитного полей колебательного контура, содержащем не идеальные индуктивность и ёмкость. Изменение во времени электрического поля на краях конденсатора возбуждает переменное магнитное поле. Изменение во времени магнитного поля на краях соленоида возбуждает переменное электрическое поле, которое в свою очередь вызывает переменное магнитное поле.

Теория Максвелла утверждает принципиальную возможность существования электромагнитных полей в виде распространения энергии электромагнитными волнами (излучением). Фазовая скорость электромагнитной волны $v = (\epsilon_0\mu_0\epsilon\mu)^{-0.5}$, в вакууме

$\epsilon=1$ и $\mu=1$, тогда $v = (\epsilon_0\mu_0)^{-0.5} = c = 3 \times 10^8$ М/с. Таким образом в вакууме электромагнитные волны в вакууме распространяются со скоростью света.

Для электромагнитной волны с волновым фронтом в плоскости **YZ**: $\mathbf{E}_y = E_m \cos(\omega t - \mathbf{kx} + \alpha)$ и $\mathbf{H}_z = H_m \cos(\omega t - \mathbf{kx} + \alpha)$ направление скорости \mathbf{v} совпадает с осью **X**. Кроме того, соблюдаются равенства: $\mathbf{kE}_m = \mu_0\mu\omega\mathbf{H}_m$ и $\epsilon_0\epsilon\omega\mathbf{E}_m = \mathbf{kH}_m$, откуда $\epsilon_0\epsilon E_m^2 = \mu_0\mu H_m^2$ и $\sqrt{\epsilon_0\epsilon} E_m = \sqrt{\mu_0\mu} H_m$.

Энергия и импульс электромагнитного поля.

Векторы **E** и **H** в вакууме изменяются синфазно. Плотность распространяющейся в пространстве электромагнитной энергии представляет совокупность плотностей энергии полей электрического и магнитного:

$$w = w_E + w_H = (\epsilon_0\epsilon E^2 + \mu_0\mu H^2)/2.$$

В непроводящей среде $w_E = w_H$, с учетом $\sqrt{\epsilon_0\epsilon} E_m = \sqrt{\mu_0\mu} H_m$ можно записать:

$$w = \epsilon_0\epsilon E^2 \equiv \mu_0\mu H^2 \equiv \sqrt{\epsilon_0\epsilon\mu_0\mu} EH = EH/v.$$

Для характеристики потока электромагнитной энергии (произведение плотности энергии на скорость распространения электромагнитной волны с размерностью Вт \times м⁻²) используют вектор Пойнтинга: $\mathbf{S} = [\mathbf{E}\mathbf{H}]$.

Магнитное поле действует на единичный объем любого тела, по которому протекает электрический ток, пропорционально плотности тока и индукции поля: $\mathbf{F} = [\mathbf{j}\mathbf{B}]$, если тело полностью поглощает энергию поля, то оказываемое давление совпадает по величине с плотностью энергии этого поля $\mathbf{P} = \mathbf{w}$, если тело отражает электромагнитную волну и коэффициент отражения \mathbf{k} от 0 до 1, тогда давление $\mathbf{P} = (1+\mathbf{k}) \mathbf{w}$.

Т.к. импульс воспринимаемый телом от электромагнитной волны – быстрота изменения действующей силы, то импульс единичного объема (м³) электромагнитного поля: $\mathbf{K} = \mathbf{S}/c^2 = \mathbf{E} \times \mathbf{H}/c^2$. Поскольку поле обладает импульсом и скоростью, то формально, можно ввести термин эффективной массы или массы одного кубического метра поля ($\mathbf{m}_{\text{ед. об}}$) - плотности, тогда $\mathbf{K} = \mathbf{m}_{\text{ед. об}} \mathbf{c}$, где $\mathbf{m}_{\text{ед. об}} = \mathbf{E}\mathbf{H}/c^3$, $\mathbf{m}_{\text{ед. об}} = \mathbf{w}/c^2$, что позволяет опять же формально записать соотношение между энергией и массой $\mathbf{W} = \mathbf{m}\mathbf{c}^2$.

ЗАКОНЫ ОПТИКИ

Световая волна. В электромагнитной волне происходит распространение колебаний векторов \mathbf{E} и \mathbf{H} (напряженности электрического и магнитного полей). Волновая оптика – совокупность явлений электромагнитного излучения энергии, в основе которых волновая природа света. В качестве *светового вектора* общепринято использовать вектор \mathbf{E} , помня о том, что вектор \mathbf{H} изменяется аналогично. Изменение светового вектора во времени и пространстве описывает уравнение:

$$\mathbf{E} = A \cos(\omega t - \mathbf{k}\mathbf{r} + \alpha),$$
 где модуль амплитуды светового вектора $A = E_{\max}$, ω – частота колебаний светового вектора, \mathbf{k} – волновой вектор, \mathbf{r} – радиус вектор от источника вдоль направления распространения волны, α начальная фаза колебания, которую для удобства будем полагать равной нулю. Для сферической волны A убывает, как $1/r$, а для плоской неизменна. Отношение скорости световой волны в вакууме ($c = 3 \times 10^8$ м/с) к фазовой скорости в среде $v = \omega/k = (\epsilon_0 \mu_0 \epsilon \mu)^{-0.5}$ называется абсолютным показателем среды $n = c/v$ или оптической плотностью среды. В переменных электромагнитных полях ϵ зависит от частоты изменения вектора \mathbf{E} , что вызывает явление дисперсии – зависимости скорости распространения света в среде (плотности среды) от частоты (длины волны). Длина световой волны λ в среде с показателем преломления n связана с длиной волны λ_0 в вакууме соотношением: $\lambda = \lambda_0/n$. Для характеристики усредненного потока энергии света используют вектор Пойнтинга: $\mathbf{S} = [\mathbf{E}\mathbf{H}]$. Поскольку $\epsilon_0 \epsilon E_m^2 = \mu_0 \mu H_m^2$, а $n \sim \epsilon^{-0.5}$ можно записать, что $A = E_{\max} \sim H_{\max}/n$ и среднее значение величины вектора Пойнтинга $\mathbf{S} = \mathbf{I} = n\mathbf{A}^2$, где \mathbf{I} – *интенсивность световой волны*. Интенсивность света пропорциональна оптической плотности среды и квадрату амплитуды световой волны.

Световое излучение тела складывается из волн, испускаемых атомами (за время излучения отдельного атома $\sim 10^{-8}$ с создается *цуг волн* длиной около 3 м). Возбужденные отдельными атомами цуги волн налагаются друг на друга и образуют результирующую световую волну. Плоскость колебаний вектора \mathbf{E} в каждом цуге волн ориентирована случайным образом, поэтому естественный свет образован огромным числом колебаний вектора \mathbf{E} , произвольно ориентированных в пространстве. Если световой поток образован упорядоченными колебаниями вектора \mathbf{E} , то такой свет называют поляризованным. Если все колебания вектора \mathbf{E} в одной плоскости – *плоскополяризованный свет* (линейнополяризованный). Если вектор \mathbf{E} поворачивается вокруг направления распространения, описывая эллипс или окружность, такой свет называют *эллиптически поляризованным* или *поляризованным по кругу*.

Фотометрические величины и единицы. Сила света – поток излучения в одном стерadiane: $\mathbf{I} = d\Phi/d\Omega$, где Ω – телесный угол распространения света, Φ – полный световой поток. Единица силы света – кандела (кд). Световой поток – излучение изотропного источника света с силой света 1 кд в пределах угла 1 ср. Единица светового потока – люмен (лм). Освещенность – поток света в 1 лм, равномерно распределенный на площади 1 м², $\mathbf{E} = d\Phi_{\text{падающий}}/d\mathbf{S}$. Единица освещенности – люкс (лк). Светимость – характеристика протяженного источника света. $\mathbf{M} = d\Phi_{\text{испускаемый}}/d\mathbf{S}$. Единица светимости – люмен на квадратный метр (лм/м²) по всем направлениям от источника. Яркость – характеризует излучение в выбранном направлении. $\mathbf{L} = d\Phi_{\text{испускаемый}}/d\Omega \Delta S \cos\Theta$, где $d\Omega$ – телесный угол; $\Delta S \times \cos\Theta$ – площадь источника перпендикулярная направлению распространения света. Единица яркости – кандела от квадратного метра

(кд/м²). Для ламбертовских источников (яркость одинакова по всем направлениям) $M = \pi L$.

Геометрическая оптика. Принцип Ферма: свет распространяется по такому пути, оптическая длина которого минимальна. Оптическая длина на величину оптической плотности среды всегда больше, чем геометрическая длина $l_{\text{оптич}} = \int_1^2 n dl_{\text{геометр}}$. Все возможные пути распространения света называются тавтохронными, т.е. одинаковое время прохождения. Следовательно, луч света пройдет путь из т.1 в т. 2 за такое же время, как и путь т.2 в т. 1. Из принципа Ферма следуют законы геометрической оптики.

Принцип Гюйгенса. Каждая точка фронта световой волны – центр вторичных сферических волн; положение волнового фронта в следующий момент времени совпадает с поверхностью, огибающей вторичные волны. Принцип Гюйгенса иллюстрирует законы геометрической оптики.

Интерференция света. Если две волны одинаковой частоты (монохроматические волны) возбуждают в некоторой точке пространства колебания вектора E , т.е. $E_1 = A_1 \cos(\omega t - kr_1)$ и $E_2 = A_2 \cos(\omega t - kr_2)$. Тогда, амплитуда результирующего колебания $A^2 = A_1^2 + A_2^2 + 2A_1A_2 \cos \delta$, где $\delta = kr_2 - kr_1$. Если величина δ остается во времени постоянной, то такие волны называют когерентными. В случае некогерентных волн δ непрерывно меняется во времени и принимает с равной вероятностью разные значения, что приводит к среднему значению $\cos \delta = 0$. Поэтому $A^2 = A_1^2 + A_2^2$. Следовательно, соотношения: $I = I_1 + I_2 + 2\sqrt{I_1 I_2} \cos \delta$ и $I = I_1 + I_2$ выполняются для когерентных и некогерентных волн, соответственно. Таким образом, при наложении когерентных волн происходит перераспределение светового потока в пространстве. В результате чего в одних точках пространства возникают максимумы интенсивности света, а в других минимумы. Это явление называют интерференцией света. Чтобы наблюдать интерференцию, необходимо создать когерентные волны света, преломляя или отражая световую волну; если лучи света пройдут разные оптические пути, то при их наложении возникнет интерференция. Разность оптических путей должна быть много меньше, чем длина одного цуга волн ($\sim 3\text{м}$), а в противном случае, в наложении будут участвовать колебаний разных цугов волн, для которых разность фаз изменяется стохастическим образом.

Рис. 17 иллюстрирует наложение двух когерентных волн, когда после разделения на две волны в т. О и встречаясь в т. Р, одна волна прошла путь $l_{\text{геометр.1}}$ в среде с оптической плотностью n_1 , а другая в среде с оптической плотностью n_2 прошла путь $l_{\text{геометр.2}}$. Разность фаз в т. Р составит

$$\delta = \frac{\omega}{c} (n_2 l_{\text{геометр.2}} - n_1 l_{\text{геометр.1}}) = \frac{2\pi}{\lambda_0} \Delta \quad (1),$$

где λ_0 – длина волны в вакууме, $\Delta = l_{\text{оптич}}$ – оптическая разность хода лучей света.

Если оптическая разность хода лучей равна целому числу длин волн в вакууме,

$$\Delta = \pm m \lambda_0 \quad (m=0,1,2\dots) \quad (2),$$

то разность фаз кратна 2π и колебания вектора E в т. Р, возбуждаемые когерентными волнами, происходят с одинаковой фазой и условие (2) – условие интерференционного максимума.

Если оптическая разность хода лучей равна полуцелому числу длин волн в вакууме,

$$\Delta = \pm (m + \frac{1}{2}) \lambda_0 \quad (m=0,1,2\dots) \quad (3),$$

то разность фаз кратна π и колебания вектора \mathbf{E} в т. P , возбуждаемые когерентными волнами, происходят в противофазе и условие (3) – условие интерференционного минимума.

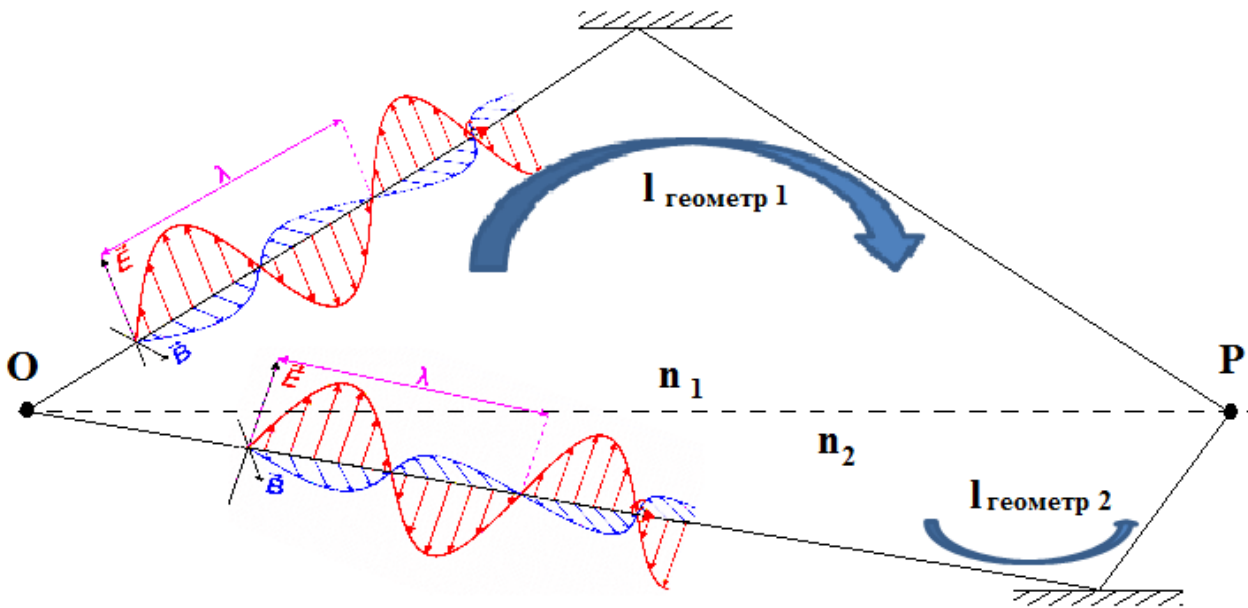


Рис. 17 Иллюстрация наложение двух когерентных волн, когда после разделения на две волны в т. О они встречаются в т. Р

Интерференция в результате дифракции света на щели.

Рисунок 18 иллюстрирует наложение двух когерентных волн, образованных в результате дифракции света на щели шириной d , и формирование интерференционной картины на экране.

Из рисунка видно, что $s_1^2 = l^2 + (x-d/2)^2$, $s_2^2 = l^2 + (x+d/2)^2$ и $s_1^2 - s_2^2 = (s_1 - s_2)(s_1 + s_2) = 2dx$.

Если $d \ll l$, то и $x \ll l$, тогда $(s_1 + s_2) = 2l$ и $(s_1 - s_2) = xd/l$. Умножая на показатель преломления геометрическую разность хода $(s_1 - s_2)$, получаем оптическую разность хода лучей от краёв щели:

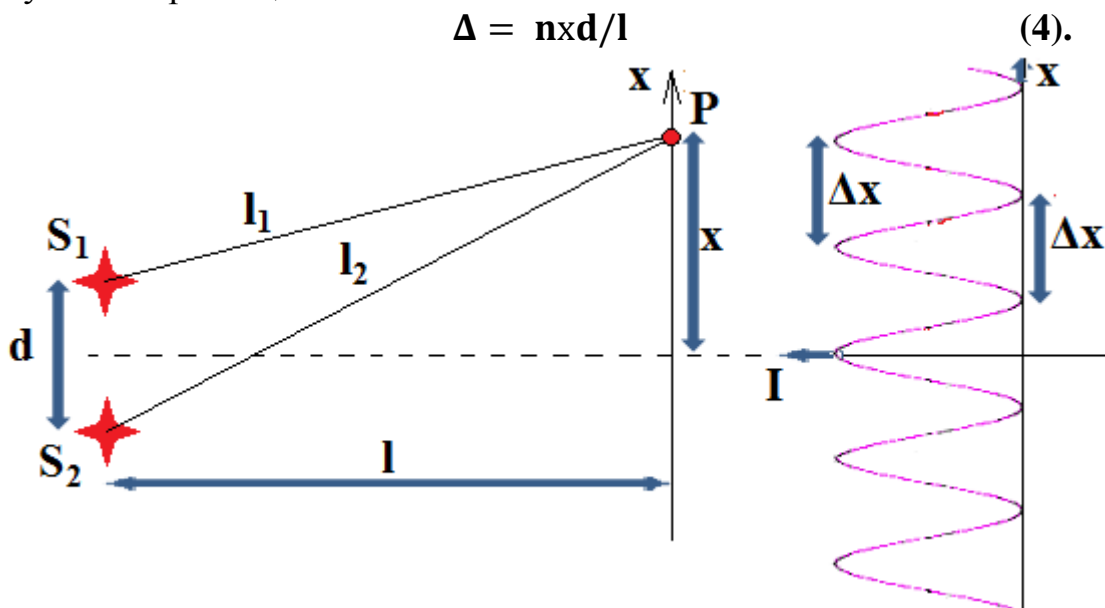


Рис. 18 Иллюстрация формирования интерференционной картины на экране ($I=f(x)$) наложением двух когерентных волн (от источников S_1 и S_2), образованных в результате дифракции света на щели шириной d .

Подставляя (4) в (3) и (2), получим условия максимума и минимума для координаты т. Р на экране:

$$x_{max} = \pm m \frac{l}{d} \lambda \quad (m=0,1,2\dots) \quad (2.1),$$

$$x_{min} = \pm (m + \frac{1}{2}) \frac{l}{d} \lambda \quad (m=0,1,2\dots) \quad (3.1),$$

где $\lambda = \lambda_0/n$ – длина волны в среде между щелью и экраном.

Из (2.1) и (3.1) следует, что расстояние между полосами интерференции и ширина полосы (максимума и минимума) имеют одинаковую величину: $\Delta x = \frac{l}{d} \lambda$ (5).

Интерференция света от тонких пластинок. Рисунок 19 иллюстрирует наложение двух когерентных волн, образованных в результате отражения света от границ раздела сред разной оптической плотности, например, тонкая плоскопараллельная прозрачная (стеклянная) пластинка в воздухе. От пластины исходят два параллельных пучка света 1 отразился от границы воздух/стекло, а 2 – от границы раздела стекло/воздух.

Оптическая разность хода лучей 1 и 2 составляет:

$$\Delta = 2 b \sqrt{n^2 - \sin^2 \Theta_1} \quad (6).$$

В т. С (см. рис. 19) отражение света происходит от границы раздела со средой, которая оптически более плотная. В т. О, наоборот, свет отражается от границы раздела со средой с меньшей оптической плотностью. В первом случае происходит изменение фазы колебания вектора E на величину π , а во втором случае волна отражается без изменения фазы колебания вектора E .

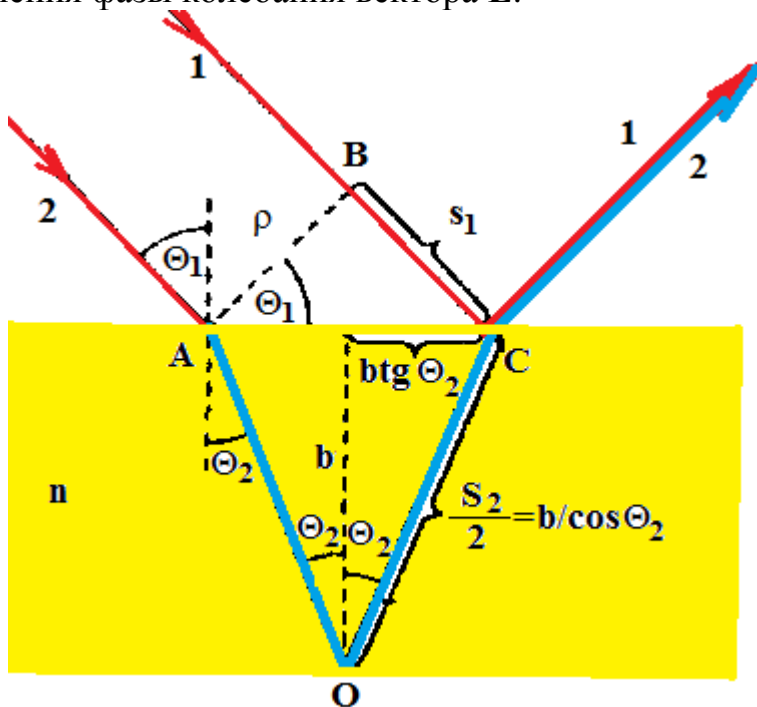


Рис. 19 Иллюстрация наложение двух когерентных волн, образованных в результате отражения света от первой границы раздела воздух/стекло и второй - стекло/воздух.

Следовательно между лучами 1 и 2 возникает дополнительная разность фаз, которую можно учесть, если к оптической разности хода добавить $\pm \lambda_0/2$ и тогда:

$$\Delta = 2 b \sqrt{n^2 - \sin^2 \Theta_1} - \frac{\lambda_0}{2} \quad (7).$$

Вследствие необходимости условия когерентности, интерференция при освещении стеклянной пластины солнечным светом будет наблюдаться только при условии $\rho \sim b$ и толщине пластины не более 0.2 мм. В этих условиях можно наблюдать интерференционную картину, которую называют *полосы равного наклона*. На тонких пластинках и пленках переменной толщины (клин) возникают интерференционные картины, называемые *полосами равной толщины*. Самый наглядный пример *полос равной толщины* – кольца Ньютона. Интерференционная картина возникает при отражении света от соприкасающихся пластины и выпуклой линзы с большим радиусом кривизны. Роль пленки переменной толщины выполняет воздушная прослойка. Радиусы светлых и тёмных колец Ньютона можно вычислить по формуле:

$$r = \sqrt{R\lambda_0(m-1)/2} \quad (m=1,2,3,\dots) \quad (8).$$

Чётным m отвечают светлые, а нечетным – тёмные кольца Ньютона. При $m=1$ кольцо вырождается в точку в месте касания пластины и линзы и наблюдается минимум из-за изменения фазы на π при отражении света от пластинки.

ДИФРАКЦИЯ СВЕТА

Дифракция – совокупность явлений при распространении света в неоднородной среде с переменной оптической плотностью (отклонение от законов геометрической оптики – перераспределение интенсивности вследствие суперпозиции волн).

Принцип Гюйгенса – Френеля. Каждая точка волновой поверхности – источник сферической волны. Результирующее колебание вектора \mathbf{E} в любой точке \mathbf{P} пространства:

$$\mathbf{E}(\mathbf{P}) = \int_S K(\varphi) \frac{a_0}{r} \cos(\omega t - kr + \alpha) dS \quad (9),$$

где $K(\varphi)$ коэффициент пропорциональности зависящий от угла (если $\varphi=0$, $K(\varphi)$ – максимален, если $\varphi=90^\circ$, $K(\varphi)=0$) между нормалью к поверхности волнового фронта и направлением от dS в т. \mathbf{P} , a_0 – амплитуда волны и $(\omega t + \alpha)$ – фаза колебания в месте расположения волновой поверхности dS , k – волновое число, r – радиус вектор от элемента волновой поверхности dS до т. \mathbf{P} . Выражение (9) – аналитическая запись принципа Гюйгенса – Френеля.

Зоны Френеля. На рисунке 20 представлена методика Френеля для определения амплитуды светового колебания в т. \mathbf{P} из источника \mathbf{S} . Разбивая волновой фронт на кольцевые зоны, отстоящие от т. \mathbf{P} на расстоянии $b + n\lambda/2$, где n – номер зоны. Разность площадей соседних зон: $\Delta S_m = S_m - S_{m-1}$ и из рис. 20 видно, что $r_m^2 = a^2 - (a - h_m)^2 = (b + m\lambda/2)^2 - (b + h_m)^2$ (h_m – высота сферического сегмента, a – радиус волновой поверхности, r_m – радиус внешней границы m -й зоны Френеля).

$$\text{Площадь } m\text{-й зоны Френеля } S_m = \pi abm\lambda / (a+b) \text{ и} \\ \Delta S_m = \pi ab\lambda / (a+b) \quad (10).$$

Площади зон Френеля примерно равны. Колебания, приходящие в т. \mathbf{P} от соседних зон находятся в противофазе и результирующее колебание при равенстве площадей этих зон будет иметь почти нулевую амплитуду. Если на пути световой волны перекрыть все четные (нечетные), то интенсивность света в т. \mathbf{P} возрастет в два раза. Ещё больший эффект достигается, если изменить фазу колебания на π для всех четных (нечетных) – интенсивность света в т. \mathbf{P} возрастет в четыре раза.

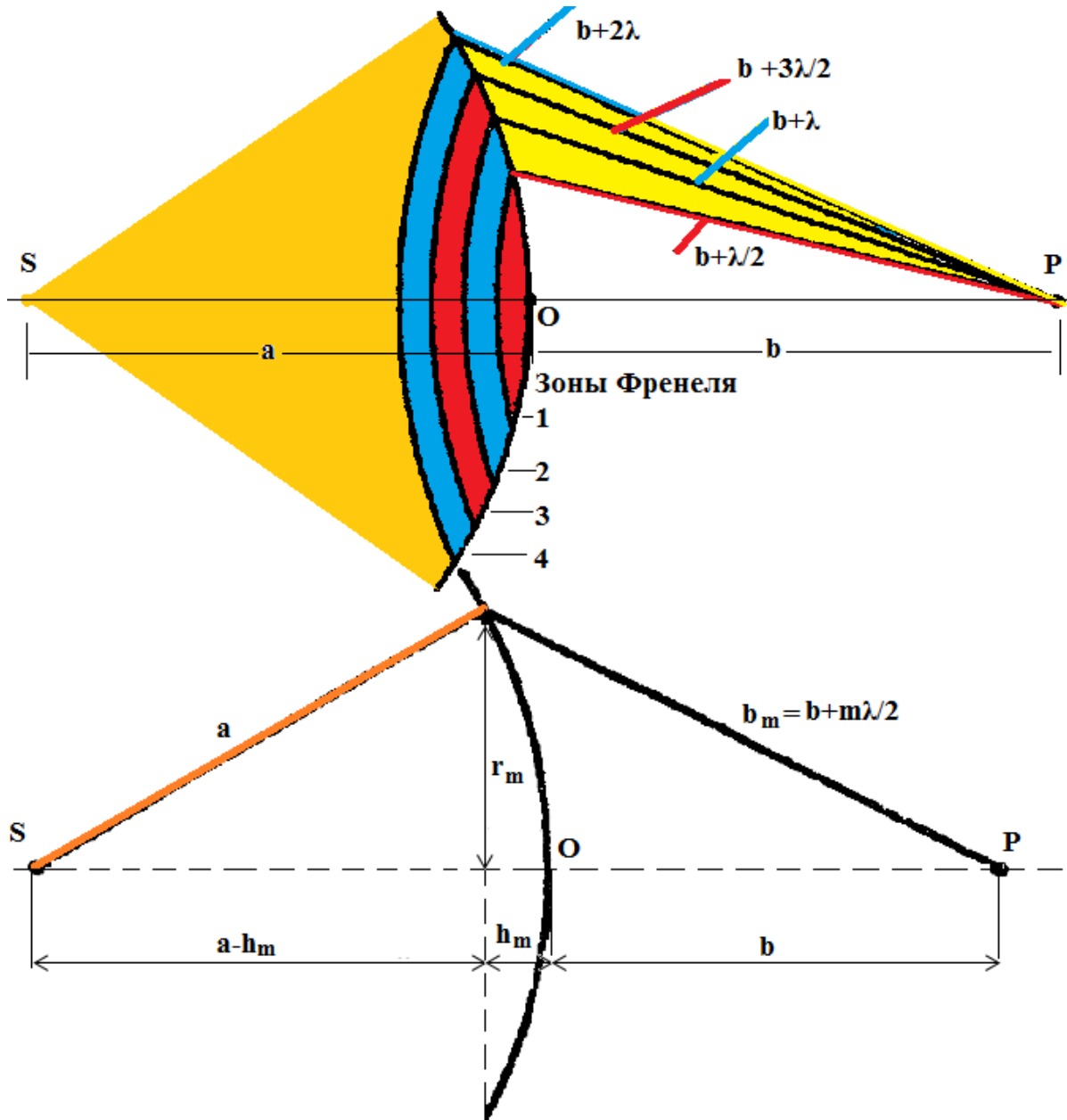


Рис. 20 Зоны Френеля

Дифракция Фраунгофера от щели.

Если световая волна встречает на своём пути большое число щелей, расположенных периодически, то соотношение (9) дает для результирующего вектора \mathbf{E} :

$$\mathbf{E}(\varphi) = E_0 \frac{\sin(\pi b \sin \varphi / \lambda)}{\pi b \sin \varphi / \lambda} \quad (11).$$

При углах φ , удовлетворяющих условию $\pi b \sin \varphi / \lambda = \pm k\pi$, т.е.

$$b \sin \varphi = \pm k\lambda \quad (k=1,2,3,\dots) \quad (12)$$

$$\text{и } b \sin \varphi = \pm (k + \frac{1}{2})\lambda \quad (k=1,2,3,\dots) \quad (13)$$

будут наблюдаться минимум и максимум интенсивности света, соответственно.

Характер дифракции зависит от величины безразмерного параметра:

$\mathbf{b}^2 / \mathbf{l}\lambda$, где b – ширина щели; l – расстояние от щели до экрана; λ – длина волны. Если этот параметр $\ll 1$, то наблюдается дифракция Фраунгофера; если $\mathbf{b}^2 \sim \mathbf{l}\lambda$ – дифракция Френеля и если $\mathbf{b}^2 \gg \mathbf{l}\lambda$ дифракции нет, работают законы геометрической оптики.